



POLITECHNIKA POZNAŃSKA

WYDZIAŁ INŻYNIERII LĄDOWEJ I TRANSPORTU
Instytut Energetyki Ciepłej

Praca dyplomowa inżynierska

OPRACOWANIE NARZĘDZIA DO ZAUTOMATYZOWANEGO WYZNACZANIA TRANSFERÓW ORBITALNYCH DO I Z ASTEROID

Alan Baker, 141589

Promotor
dr. inż. Przemysław Grzymisławski

POZNAŃ 2022

Tutaj będzie karta pracy dyplomowej;
oryginał wstawiamy do wersji dla archiwum PP, w pozostałych kopiach wstawiamy ksero.

Spis treści

Streszczenie - (Abstract)	1
1 Wstęp	2
2 Trajektorie międzyplanetarne i prawa nimi rządzące	4
2.1 Prawa Keplera	4
2.2 Parametry orbitalne (elementy Keplerskie)	4
2.3 Strefa wpływów	7
2.4 Prędkość ucieczki (druga prędkość kosmiczna)	7
2.5 Opuszczenie strefy wpływów planety	7
2.6 Wejście w strefę wpływów	10
2.7 Transfer Hohmanna	11
2.8 Kształty orbit	13
2.9 Zmiany nachylenia (inklinacji) płaszczyzny orbitalnej	16
2.10 Wektory stanu orbitalnego i właściwy moment pędu	17
2.11 Epoka	18
2.12 Problem Lamberta	18
3 Algorytmy do wyznaczania transferów orbitalnych	20
3.1 Dane wejściowe	20
3.2 Układ odniesienia	21
3.3 Lokalna pozycja w czasie - anomalia prawdziwa	21
3.4 Globalna pozycja w czasie	24
3.4.1 Wektor położenia	24
3.4.2 Wektor prędkości	24
3.4.3 Właściwy moment pędu i węzeł wstępujący	25
3.5 Znalezienie czasu po obrocie o zadany kąt	25
3.6 Znalezienie dat przejścia przez węzły wstępujące	25
3.7 Wyznaczenie transferu między dwoma obiektami o zadanym czasie odlotu	26
3.8 Analiza misji Ziemia - asteroida 1996FG3	26
4 Konkluzje i rekomendacje	30
Literatura	31
A Kod źródłowy	32
B Notacja	45

Streszczenie (Abstract)

Praca zawiera narzędzie własne do zautomatyzowanego wyznaczania transferów orbitalnych do i z asteroid oraz opisuje działanie poszczególnych jej funkcji. Trajektorie między obiektami wyznaczono za pomocą algorytmu Izzo, służącego do rozwiązywania problemu Lamberta. Narzędzie napisano w języku programowania Python 3.7. Do obliczeń wymagane są parametry, określające obiekty odlotu i przylotu oraz zadany okres czasu analizy.

Przedstawiono też przykładowy transfer z Ziemi do asteroidy 1996FG3 oraz transfer powrotny w przedziale czasowym od 2027-01-01 00:00:00 do 2033-01-01 00:00:00. Z przeprowadzonej analizy wyników wybrano misję o najmniejszym delta-v wynoszącym 51.67 [km/s], przy czasie odlotu z Ziemi 2029-09-14, czasie przylotu na asteroidę 2030-03-26, czasie odlotu z asteroidy 2032-02-28 oraz czasie powrotu na Ziemię 2032-11-04.

This dissertation describes the operation of the various functions of a self-created software tool that automates the orbital transfer calculations for journeys between Earth and a selected asteroid. The trajectories between the astronomical bodies were determined using the Izzo algorithm to solve the Lambert problem. The tool is written in the Python 3.7 programming language. As input, the program requires the user to specify the parameters of the departure and arrival bodies and the time for analysis.

Various transfers from the Earth to the asteroid 1996FG3 and back for the time interval 2027-01-01 to 2033-01-01 are calculated. The tool found that the minimum value of delta-v was 51.67 [km/s] for a mission with a departure time from Earth on 2029-09-14 and an arrival time on the asteroid of 2030-03-26. The departure time from the asteroid was 2032-02-28, and the arrival time on Earth was 2032-11-04.

Rozdział 1

Wstęp

Przyszłe uprzemysłowienie przestrzeni kosmicznej spowoduje poszukiwanie zasobów kosmicznych, zarówno w zakresie masy konstrukcyjnej, jak i materiałów pędnych. Szczególnie, rozwój wiedzy o asteroidach bliskich Ziemi, dokonany w ostatnich dziesięcioleciach czyni je potencjalnie lukratywnymi obiektami zainteresowania. [19] Projektowanie, więc, narzędzi do analizy trajektorii lotu misji międzyplanetarnych stanowi pożądane i ważne zadanie.

Modelowanie trajektorii lotu jest jednym z najważniejszych aspektów projektowania każdej misji kosmicznej. Pierwszym krokiem do realizacji tych misji jest właściwe obliczenie okna startowego, czasu przelotu, zmiany prędkości oraz trajektorii. Celem niniejszej pracy jest opracowanie algorytmów do wyznaczania transferów orbitalnych statków kosmicznych od planety do asteroidy i z powrotem. Poszczególne funkcje algorytmów przetwarzają i zwracają wymienione powyżej elementy składowe misji.

Kluczową pozycję w materiałach źródłowych zajmuje podręcznik akademicki Howarda Curtisa pt. *Orbital mechanics for engineering students*, który zawiera dogłębną analizę zagadnień z zakresu dynamiki orbitalnej ze szczególnym uwzględnieniem problematyki niniejszej pracy, czyli manewrów orbitalnych i trajektorii międzyplanetarnych. Dostępne online opracowanie Roberta Baeuninga [15] w sposób zwięzły wyjaśnia niezbędne kwestie mechaniki lotu i stanowi praktyczne kompendium referencyjne.

Algorytmy zostały napisane w języku programowania Python (wersja 3.7). Do poprawnego działania wymagane są następujące biblioteki:

- math
- Astropy
- SciPy
- poliastro
- NumPy

Struktura pracy jest następująca:

Rozdział pierwszy ma charakter wprowadzający.

W rozdziale 2 przedstawiono zagadnienia teoretyczne związane z podstawowymi prawami astrodynamiki, właściwościami orbit i transferami międzyplanetarnymi.

Rozdział 3 zawiera opisy algorytmów służących do wyznaczania transferów orbitalnych do i z asteroid. Określono w nim warunki, jakie powinny spełniać dane wejściowe i wyniki oraz konieczne zmienne. Dokładnie opisano działanie kolejnych funkcji.

W rozdziale 4 zestawiono wygenerowane wyniki algorytmów.

Rozdział 5 stanowi podsumowanie pracy, w którym zaprezentowano wnioski i rekomendacje do przyszłych badań.

Rozdział 2

Trajektorie międzyplanetarne i prawa nimi rządzące

2.1 Prawa Keplera

Jan Kepler odkrył i sformułował w następujący sposób trzy prawa rządzące ruchem ciał niebieskich krążących po orbicie Słońca:

I Prawo - Każda planeta Układu Słonecznego porusza się wokół Słońca po orbicie w kształcie elipsy, w której w jednym z ognisk jest Słońce. Ekscentryczność elipsy (stopień jej wydłużenia) e równa się stosunkowi długości odcinka l między środkiem elipsy a jednym z jej ognisk do długości wielkiej półosi a .

$$e = \frac{l}{a} \quad (2.1)$$

II Prawo - W równych odstępach czasu promień wodzący planety, poprowadzony od Słońca, zakreśla równe pola.

Prawo to ilustruje poniższy wzór:

$$\frac{\Delta A}{\Delta t} = \text{const} \quad (2.2)$$

III Prawo - Stosunek kwadratu okresu obiegu planety wokół Słońca do sześciannu wielkiej półosi jej orbity jest stały dla wszystkich planet w Układzie Słonecznym.

III prawo wyraża następujący wzór:

$$\frac{T_1^2}{a_1^3} = \frac{T_2^2}{a_2^3} = \text{const} \quad (2.3)$$

T_1, T_2 – okresy obiegów dwóch planet

a_1, a_2 – wielkie półosie tych planet

2.2 Parametry orbitalne (elementy Keplerskie)

Położenie każdego obiektu na orbicie definiuje się przy użyciu sześciu parametrów orbitalnych, zwanych także elementami Keplerskimi. Należą do nich ekscentryczność (inaczej mimośród), półoś wielka orbity, anomalia prawdziwa, argument perycentrum (długość perycentrum), inklinacja oraz długość węzła wstępującego.

1. Ekscentryczność – to parametr określający kształt orbity. Jest to własność krzywej stożkowej, który opisany jest okręgiem, elipsą, parabolą lub hiperbolą. Dla okręgu ekscentryczność wynosi 0. W przypadku elipsy jest mniejsza od wartości 1. Dla paraboli równa się 1, a hiperboli osiąga wartość większą niż 1.
2. Półś wielka orbity – w zależności od stożka przyjmuje się ją jako połowę sumy długości perycentrum i apocentrum dla ekscentryczności mniejszej niż 1. Dla ekscentryczności większej od 1 (czyli orbity hiperbolicznej) półś wielką orbity można obliczyć za pomocą poniższego równania:

$$v^2 = GM\left(\frac{2}{r} - \frac{1}{a}\right) \quad (2.4)$$

gdzie:

v - prędkość na orbicie

G - stała grawitacji

r - promień orbity

a - długości wielkiej półosi

3. Anomalia prawdziwa – to wielkość określająca czas od przejścia przez perygeum. Przyjmuje wartości od 0 do 2π . Używa się także parametru kąтового wiążącego położenie ciała z czasem zwanego anomalią średnią. W jej przypadku za punkt odniesienia przyjmuje się epokę w celu prawidłowego ustalenia położenia orbitującego ciała.
4. Argument perycentrum - to kąt między kierunkiem węzła wstępującego a kierunkiem perygeum. Określa orientację orbity w jej płaszczyźnie. Może wynosić od 0 do π .
5. Inklinalcja – kąt pomiędzy płaszczyzną orbitalną a płaszczyzną odniesienia. Przykładową płaszczyzną odniesienia może być płaszczyzna równika ciała centralnego. Inklinalcja orbity przyjmuje wartości od 0 do π .
6. Długość węzła wstępującego – to kąt pozycyjny liczony w wybranej płaszczyźnie od pewnego ustalonego kierunku do punktu, w którym poruszające się po orbicie ciało przekracza tę płaszczyznę ze strony południowej na północną (węzeł wstępujący). Długość węzła wstępującego zawiera się między 0 a 2π włącznie.

Parametry orbitalne przedstawiono na rysunku 2.1:

Do obliczeń orbitalnych stosuje się także anomalię średnią.

Anomalia średnia wskazuje, gdzie satelita znajdował się na swojej orbicie w danej epoce. Średnią anomalię w dowolnym momencie t , $M(t)$, można wyznaczyć dodając ostatnią znaną średnią anomalię, M_0 , do średniego ruchu orbity pomnożonego przez czas, który upłynął $(t - t_0)$:

$$M(t) = M_0 + n(t - t_0) \quad (2.5)$$

gdzie:

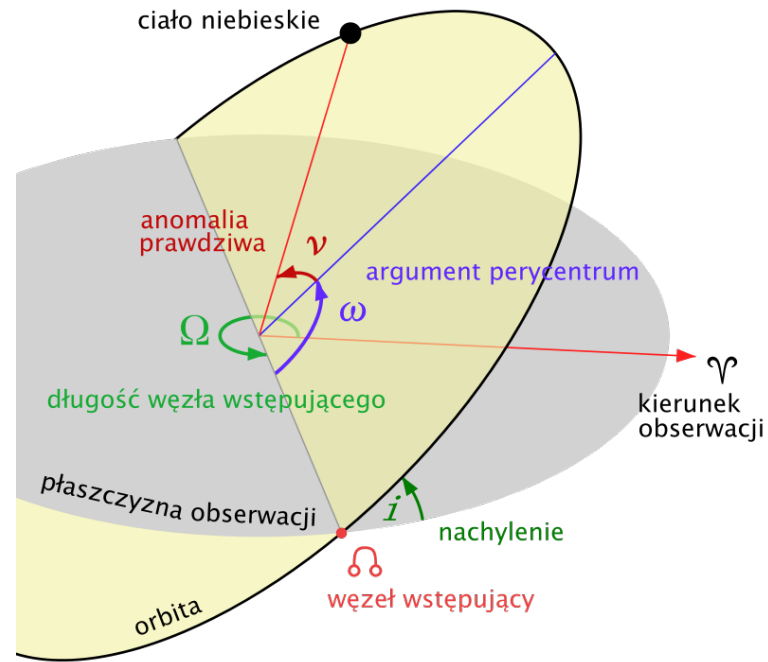
$M(t)$ = średnia anomalia w czasie t

M_0 = średnia anomalia w chwili $t=0$

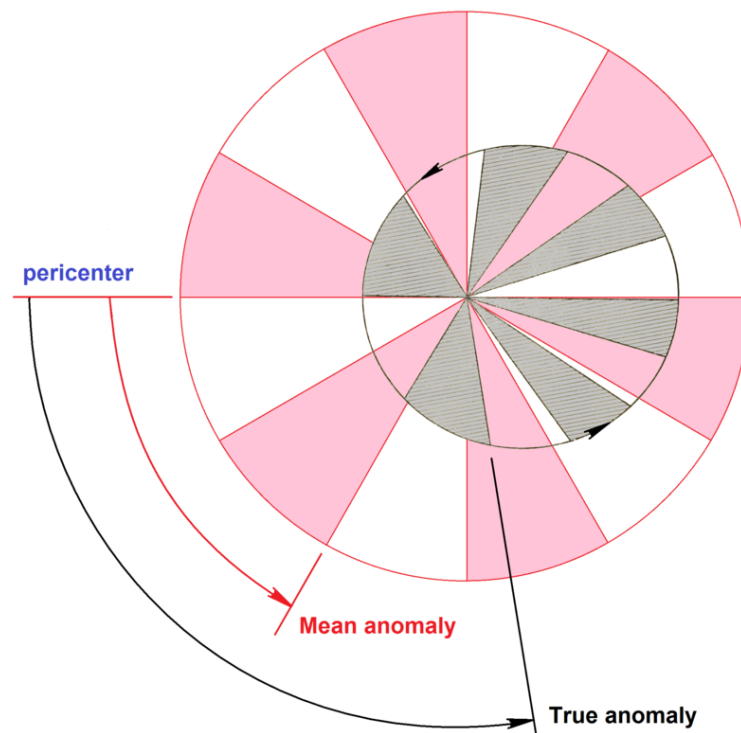
n = średnia ruchliwość orbity satelitarnej

t = wybrana godzina

t_0 = czas ostatniej znanej średniej anomalii



RYSUNEK 2.1: Parametry orbitalne [4]



RYSUNEK 2.2: Anomalia średnia (pericenter – perycentrum, mean anomaly – anomalia średnia, true anomaly – anomalia prawdziwa) [6]

Dla orbity idealnie kołowej (ekscentryczność 0), średnia anomalia jest dokładnie równa anomalii prawdziwej na całej orbicie. Średnia anomalia jest związana z anomalią mimośrodową (E) za pomocą równania Keplera. Anomalia średnia może mieć zakres od 0 do 360° [7].

2.3 Strefa wpływów

W zależności od położenia na orbicie przyciąganie grawitacyjne ciał ulega zmianie. W myśl prawa powszechnego ciążenia Newtona siła tego przyciągania jest odwrotnie proporcjonalna do kwadratu odległości między środkami tych ciał. Problem oddziaływania wielu ciał można uprościć przyjmując założenie, że gdy ciało niebieskie jest odpowiednio blisko w stosunku do ciała centralnego, to siły przyciągania innych, bardziej oddalonych ciał można pominąć. Obliczenie, zatem, odległości, przy której wpływ innych ciał można zaniedbać przedstawia się następująco:

$$\text{Strefa wpływów} = a \left(\frac{m}{M} \right)^{\frac{2}{5}} \quad (2.6)$$

a – półosć wielka ciała

m – masa mniejszego ciała orbitującego np. Ziemi

M – masa centralnego ciała np. Słońca [20]

2.4 Prędkość ucieczki (druga prędkość kosmiczna)

Mimo faktu, że każde ciało ma swoją strefę wpływów, przyciąganie grawitacyjne można pokonać dostarczając ciału odpowiednią ilość energii, co spowoduje uwolnienie od przyciągania ciała centralnego. Aby ciało orbitujące centralną planetę opuściło zatem jej strefę wpływów prędkość ucieczki można opisać równaniem:

$$V_{esc} = \sqrt{\frac{2GM}{r}} \quad (2.7)$$

M – masa centralnego ciała

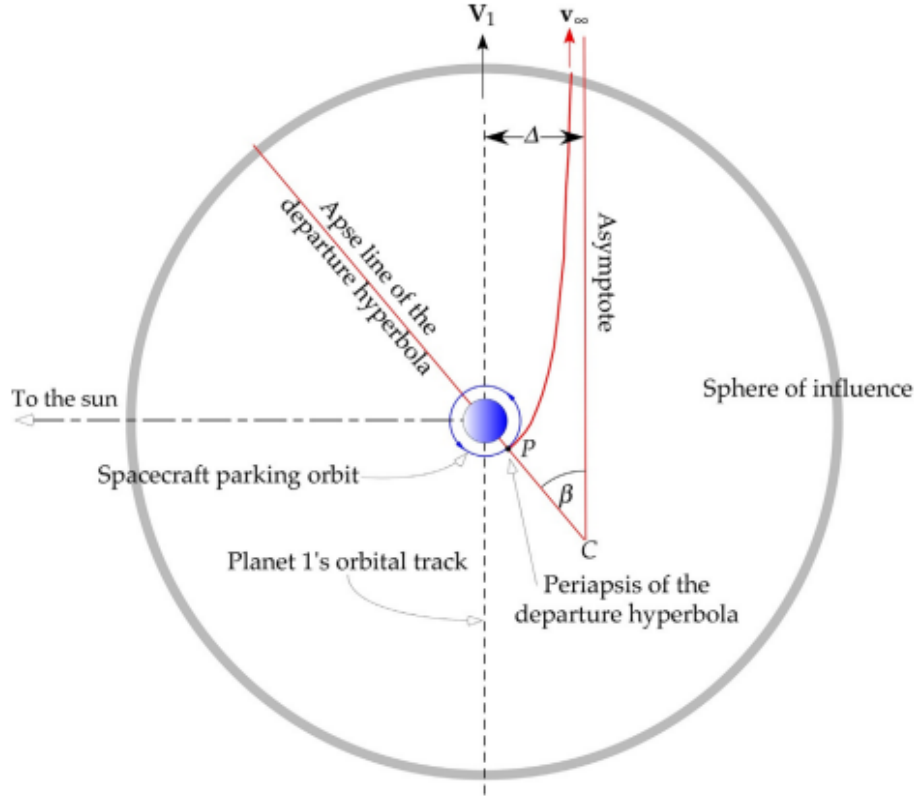
r - odległość ciała orbitującego od centralnego

G – stała grawitacji

Gdy nada się ciału prędkość równą lub większą od prędkości ucieczki, nie znajduje się już ono na orbicie wokół planety centralnej, ale ucieka po parabolicznej lub hiperbolicznej trajektorii. Przykładowo w celu dotarcia do Marsa, statek kosmiczny powinien osiągnąć prędkość ucieczki co najmniej większą niż prędkość ucieczki dla planety Ziemi.[20]

2.5 Opuszczenie strefy wpływów planety

Aby uciec przed przyciąganiem grawitacyjnym planety, statek kosmiczny musi przebyć trajektorię hiperboliczną względem tej planety, docierając do brzegu jej sfery wpływów z prędkością względną v_{∞} (nadmiarowa prędkość hiperboliczna) większą od zera.



RYСУNEK 2.3: Odlot statku kosmicznego na trajektorii od planety wewnętrznej do planety zewnętrznej. (sphere of influence – strefa wpływów, periapsis of the departure hyperbola – perycentrum hiperboli, planet 1's orbital track – tor orbity pierwszej planety, spacecraft parking orbit – orbita parkingowa statku kosmicznego, asymptote – asymptota, apse line of the departure hyperbola – linia absyd hiperboli, to the Sun – w kierunku Słońca) [16]

Do wyznaczenia v_∞ przedstawionej na rys.2.3 należy skorzystać ze wzoru:

$$v_\infty = \sqrt{\frac{\mu_{sun}}{r_1} \left(\sqrt{\frac{2r_2}{r_1 + r_2}} - 1 \right)} = \frac{\mu_1}{h} e \sin \theta_\infty = \frac{\mu_1}{h} \sqrt{e^2 - 1} \quad (2.8)$$

gdzie:

r_1 - promień orbity planety odlotu

r_2 - promień orbity planety docelowej

μ_{sun} - parametr grawitacyjny słońca

h - właściwy moment pędu hiperboli odlotu (względem planety)

e - ekscentryczność hiperboli

μ_1 - parametr grawitacyjny planety odlotu

Pojazd kosmiczny wystrzeliwuje się zwykle na trajektorię międzyplanetarną z parkingowej orbity kołowej. Promień tej orbity parkingowej jest równy promieniowi perycentrum r_p hiperboli odlotu. Promień perycentrum można otrzymać przy pomocy następującego równania:

$$r_p = \frac{h^2}{\mu_1} \frac{1}{1 + e} \quad (2.9)$$

gdzie:

μ_1 - parameter grawitacyjny planety

Ponieważ nadmiarowa prędkość hiperboliczna jest określona przez wymagania misji (równanie 2.8), wybór perycentrum odlotu r_p wyznacza parametry e i h hiperboli odlotu. Aby wyznaczyć deltę- v potrzebną do umieszczenia statku kosmicznego na hiperboli odlotu można skorzystać ze wzoru:

$$\Delta v = v_c \left(\sqrt{2 + \left(\frac{v_\infty}{v_c} \right)^2} - 1 \right) \quad (2.10)$$

gdzie:

v_c - prędkość statku na orbicie parkowania

Prędkość v_c wyraża się równaniem:

$$v_c = \sqrt{\frac{\mu_1}{r_p}} \quad (2.11)$$

Położenie perycentrum, w którym musi nastąpić manewr delta- v , można znaleźć korzystając z równania:

$$\beta = \cos^{-1}\left(\frac{1}{e}\right) = \cos^{-1}\left(\frac{1}{1 + \frac{r_p v_\infty^2}{\mu_1}}\right) \quad (2.12)$$

gdzie β określa orientację linii apsyd hiperboli względem heliocentrycznego wektora prędkości planety.

Gdy statek kosmiczny znajduje się już na orbicie parkingowej, możliwość wystrzelenia go na trajektorię odlotową pojawia się raz w każdym obiegu orbitalnym.

Jeśli misja polega na wysłaniu statku kosmicznego z planety zewnętrznej na planetę wewnętrzną, jak na rys. 2.4, to prędkość heliocentryczna statku kosmicznego przy starcie musi być mniejsza niż prędkość planety. Oznacza to, że statek kosmiczny musi wyjść z tylnej części sfery wpływów z wektorem prędkości względnej skierowanym przeciwnie do V_1 , jak pokazano na rys. 2.4.

W przypadku transferów nie-Hohmannowskich, zaprezentowanych na rys. 2.5 powyższe parametry oblicza się z zastosowaniem następujących wzorów.

Wektor hiperbolicznej prędkości odlotu:

$$\mathbf{v}_\infty = \mathbf{V}_D - \mathbf{V}_1 \quad (2.13)$$

gdzie:

\mathbf{V}_1 - wektor prędkości planety odlotu

\mathbf{V}_D - wektor prędkości statku w odniesieniu do Słońca

Hiperboliczna prędkość odlotu:

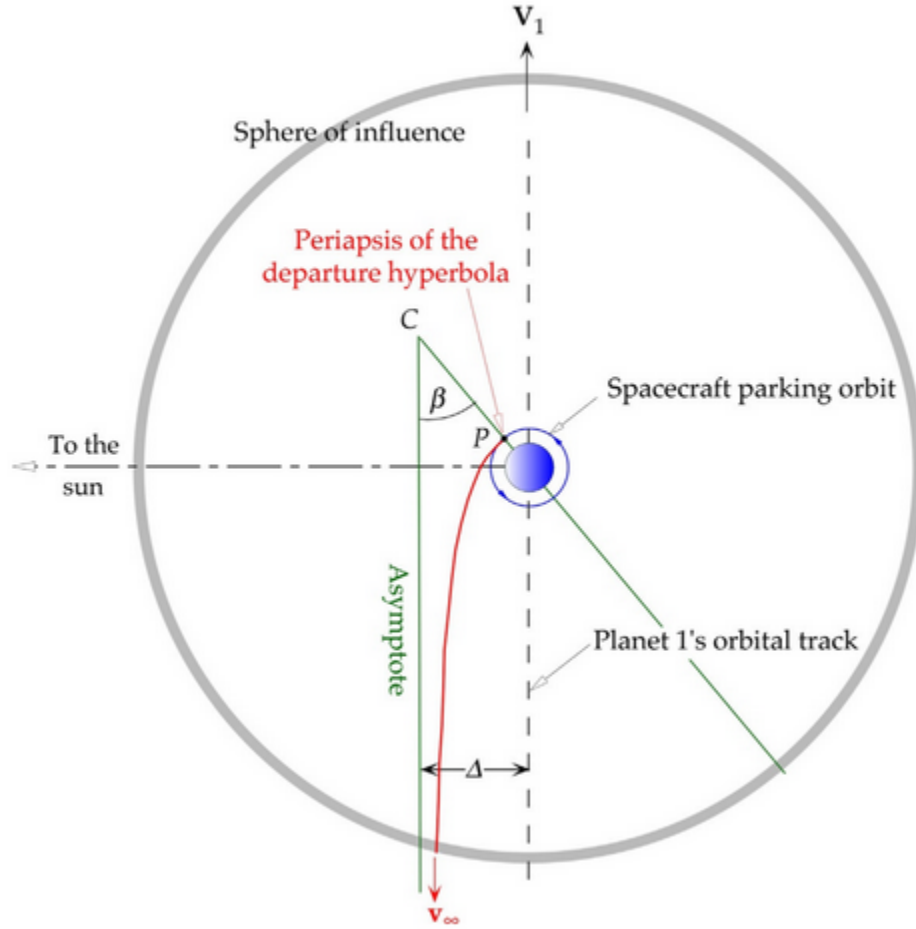
$$v_\infty = |\mathbf{V}_D - \mathbf{V}_1| \quad (2.14)$$

Prędkość statku na perycentrum hiperboli odlotu:

$$v_{odlotu} = \sqrt{v_\infty^2 + \frac{2\mu_1}{r_p}} \quad (2.15)$$

Delta- v odlotu:

$$\Delta v = v_{odlotu} - v_c \quad (2.16)$$



RYSUNEK 2.4: Odlot statku kosmicznego na trajektorii od planety zewnętrznej do planety wewnętrznej (sphere of influence – strefa wpływów, periapsis of the departure hyperbola – perycentrum hiperboli, planet 1's orbital track – tor orbity pierwszej planety, spacecraft parking orbit – orbita parkingowa statku kosmicznego, asymptote – asymptota, apse line of the departure hyperbola – linia absyd hiperboli, to the Sun – w kierunku Słońca) [16]

2.6 Wejście w strefę wpływów

Wchodząc w strefę wpływów planet, statek kosmiczny porusza się z prędkością względną v_∞ (nadmiarowa prędkość hiperboliczna) większą od zera. Prędkość tą trzeba zniwelować, aby wejść na orbitę okołoplanetarną.

Wektor hiperbolicznej prędkości przylotu:

$$\mathbf{v}_\infty = \mathbf{V}_A - \mathbf{V}_2 \quad (2.17)$$

gdzie:

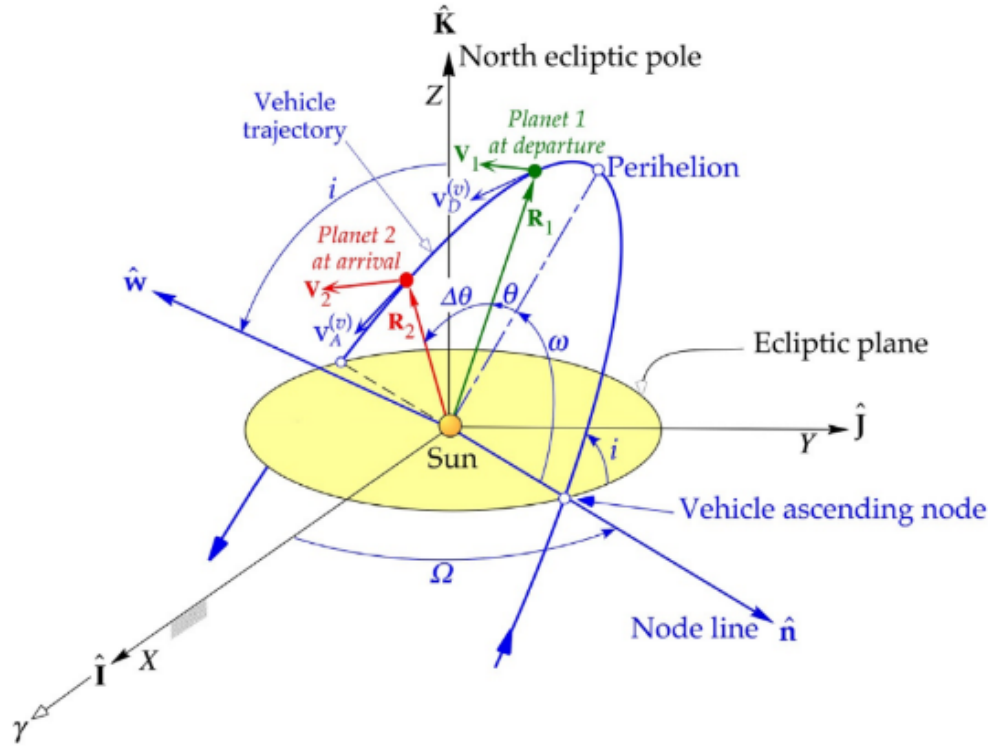
\mathbf{V}_2 - wektor prędkości planety przylotu

\mathbf{V}_A - wektor prędkości statku w odniesieniu do Słońca

Hiperboliczną prędkość przylotu można obliczyć z równania:

$$v_\infty = |\mathbf{V}_A - \mathbf{V}_2| \quad (2.18)$$

Prędkość statku na perycentrum hiperboli przylotu:



RYSUNEK 2.5: Heliocentryczne elementy orbitalne trójwymiarowej trajektorii transferu z planety 1 do planety 2 (Planet 1 at departure - położenie planety 1 przy odlocie, Planet 2 at arrival - położenie planety 2 przy przylocie, Vehicle trajectory - trajektoria statku, Perihelion - Peryhelium, Vehicle ascending node - węzeł wstępujący statku, Node line - linia węzłów, Sun - Słońce, North ecliptic pole - Północny biegun ekliptyczny, Eliptic plane - Płaszczyzna Elipsy) [16]

$$v_{\text{przylotu}} = \sqrt{v_{\infty}^2 + \frac{2\mu_2}{r_p}} \quad (2.19)$$

gdzie:

μ_2 - parametr grawitacyjny planety przylotu

r_p - perycentrum hiperboli przylotu

Prędkość statku na eliptycznej orbicie parkingowej:

$$v_{el} = \sqrt{\frac{\mu_2}{r_p}(1+e)} \quad (2.20)$$

gdzie:

e - ekscentryczność orbity parkingowej:

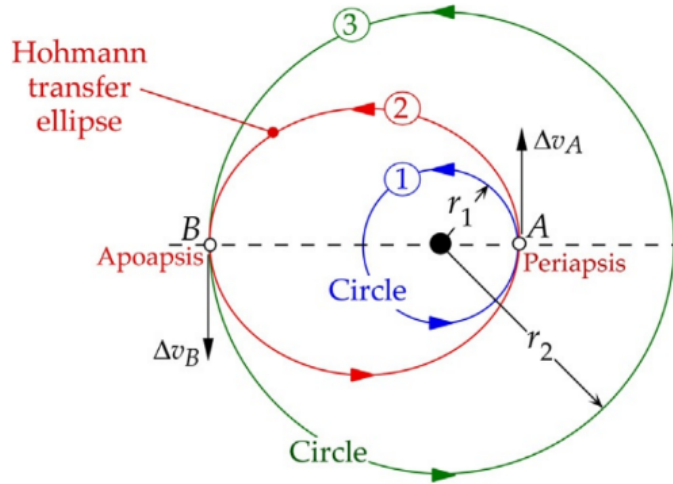
Aby deltę-v przylotu powinno się skorzystać ze wzoru:

$$\Delta v = v_{\text{przylotu}} - v_{el} \quad (2.21)$$

2.7 Transfer Hohmanna

Transfer Hohmanna to manewr, który przenosi statek kosmiczny z jednej orbity kołowej na drugą, gdy posiadają one wspólne ognisko i są współpłaszczyznowe. Wymagana delta-V do

takiego manewru (zmiana prędkości) ma najniższą wartość całkowitą, co sprawia, że jest on bardzo wydajny energetycznie i tym samym ekonomiczny w zużyciu paliwa. Aby poprawnie wykonać transfer konieczne są dwa uruchomienia silnika (transfer dwuimpulsowy). Sam transfer jest więc orbitą eliptyczną styczną do obu okręgów na jej linii apsyd. Perycentrum oraz apocentrum elipsy transferowej stanowią promienie odpowiednio wewnętrznego i zewnętrznego okręgu. W trakcie manewru zakreślana jest połowa elipsy, a manewr może być wykonywany w obu kierunkach, od okręgu wewnętrznego do zewnętrznego lub odwrotnie.



RYSUNEK 2.6: Transfer Hohmanna (Periapsis - perycentrum, apoapsis - apocentrum, Hohmann transfer ellipse – elipsa transferu Hohmanna)[16]

Rysunek 2.6 przedstawia reprezentację graficzną transferu Hohmanna. Począwszy od punktu A na wewnętrznym okręgu (1), wymagany jest przyrost prędkości Δv_A w kierunku lotu, aby skierować pojazd na trajektorię eliptyczną o wyższej energii (2). Po przejściu z punktu A do B, kolejny przyrost prędkości Δv_B umieszcza pojazd na jeszcze bardziej energetycznej, zewnętrznej orbicie kołowej (3).

Całkowity wydatek energetyczny odzwierciedla się w całkowitym zapotrzebowaniu delta-v i można je wyrazić równaniem:

$$\Delta v_{total} = \Delta v_A + \Delta v_B \quad (2.22)$$

Wymagana delta-v statku kosmicznego w punkcie A wyrazić można następującym przekształceniem:

$$\Delta v_A = \sqrt{\frac{\mu_{sun}}{r_1}} \left(\sqrt{\frac{2r_2}{r_1 + r_2}} - 1 \right) \quad (2.23)$$

Podobnie deltę-v w punkcie B przedstawia wyrażenie:

$$\Delta v_B = \sqrt{\frac{\mu_{sun}}{r_2}} \left(1 - \sqrt{\frac{2r_1}{r_1 + r_2}} \right) \quad (2.24)$$

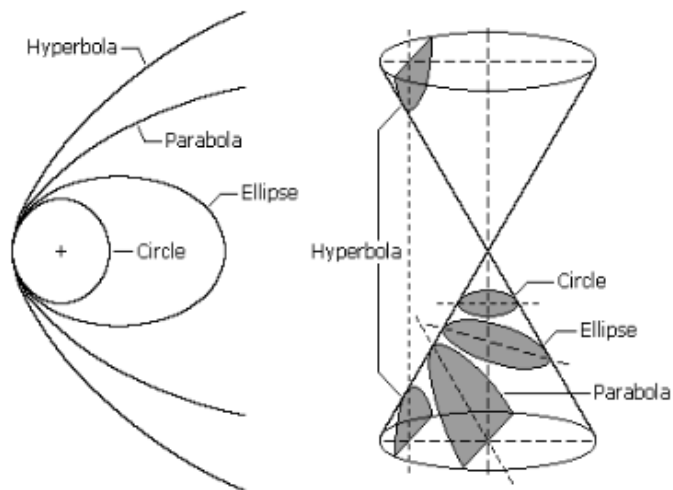
Jeśli początek transferu stanowi punkt B na zewnętrznej orbicie kołowej, konieczne jest takie samo zapotrzebowanie delta-V. W tym przypadku deltę-V osiąga się wskutek zapłonu silników hamujących, gdyż przejście na wewnętrzny krąg wymaga obniżenia energii statku kosmicznego. Ciąg statku skierowany jest przeciwnie do kierunku lotu. Przejście więc na wyższą orbitę i odwrotnie odbywa się przy tym samym wydatku paliwa.

2.8 Kształty orbit

Orbita to tor, po którym porusza się ciało niebieskie w polu sił grawitacji wokół wspólnego środka masy. Orbits można ogólnie podzielić na otwarte i zamknięte. W przypadku orbity otwartej ciało nie powraca do punktu wyjścia, natomiast gdy orbita jest zamknięta ciało wraca do punktu początkowego.

Kształty orbit:

- zamknięte – koło oraz elipsa
- otwarte – parabola i hiperbola



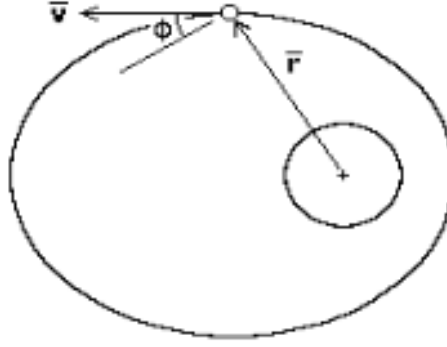
RYSUNEK 2.7: Przekroje stożka (hyperbola – hiperbola, circle – koło, ellipse – elipsa) [15]

Orbits określa się w zależności od ich ekscentryczności. Od tego parametru zależy również energia orbity. W tabeli poniżej zawarto właściwości otwartych i zamkniętych orbit.

Przekrój stożka	Ekscentryczność	Półoś wielka	Energia
Koło	0	= promień	<0
Elipsa	$0 < e < 1$	>0	<0
Parabola	1	nieskończoność	0
Hiperbola	>1	<0	>0

TABLICA 2.1: Właściwości różnych typów orbit [15]

Najczęściej używane orbits, począwszy od wystrzeliwania satelitów, a skończywszy na transferach w obrębie Układu Słonecznego to orbits eliptyczne.



RYSUNEK 2.8: Typowy transfer orbity eliptycznej [15]

Trzy następujące równania mają zastosowanie do obliczania elementów orbitalnych:

$$\left(\frac{r_p}{r}\right) = \frac{-C \pm \sqrt{C^2 - 4(1-C)(-\cos^2\phi)}}{2(1-C)} \quad (2.25)$$

$$C = \frac{2GM}{rv^2} \quad (2.26)$$

gdzie:

$$e = \sqrt{\left(\frac{rv^2}{GM} - 1\right)\cos^2\phi + \sin^2\phi} \quad (2.27)$$

$$\tan v = \frac{\left(\frac{rv^2}{GM}\right)\cos\phi\sin\phi}{\left(\frac{rv^2}{GM}\right)\cos^2\phi - 1} \quad (2.28)$$

Pierwsze równanie kwadratowe ma dwa rozwiązania odpowiadające promieniowi perygeum i apogeum. Zatem dla orbity eliptycznej półoś wielką można obliczyć biorąc połowę z sumy perygeum i apogeum lub z poniższego równania:

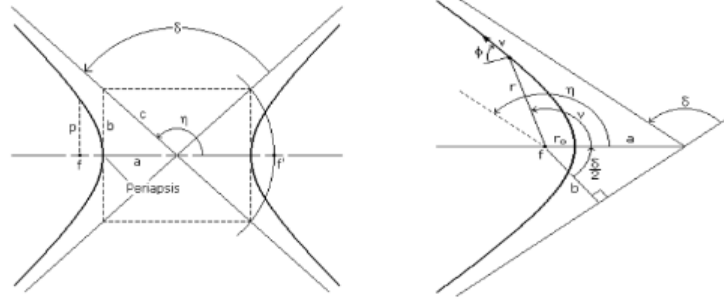
$$v^2 = GM\left(\frac{2}{r} - \frac{1}{a}\right) \quad (2.29)$$

Po wyznaczeniu półosi wielkiej, ekscentryczności i prawdziwej anomalii orbity, kąt nachylenia toru lotu i położenie orbitującego ciała można rekurencyjnie obliczyć za pomocą poniższych wzorów:

$$\phi = \arctan\left(\frac{e\sin v}{1 + e\cos v}\right) \quad (2.30)$$

$$r = \frac{a(1 - e^2)}{1 + e\cos v} \quad (2.31)$$

Poniżej przedstawiono obraz typowej orbity hiperbolicznej. Wynika z niego, że hiperbola ma dwa ramiona, które są asymptotyczne do przecinających się prostych. Przy założeniu, że ciało centralne znajduje się w lewym ognisku, można pominąć prawe ramię hiperboli, gdyż siła grawitacji nie działa odpychająco.



RYSUNEK 2.9: Właściwości orbity hiperbolicznej [15]

Hiperbola stanowi przekrój stożkowy. Jej ekscentryczność można określić korzystając z własności kierownicy.

$$e = \frac{c}{a} \quad (2.32)$$

Drogę statku kosmicznego poruszającego się po trajektorii hiperbolicznej obraca się o kąt równy kątowi asymptot δ , gdy napotyka ciało centralne. Kąt skrętu oblicza się następującym równaniem:

$$\sin\left(\frac{\delta}{2}\right) = \frac{1}{e} \quad (2.33)$$

Jeśli znane są długość promienia, prędkość chwilowa i kąt nachylenia toru lotu w określonym czasie, można obliczyć ekscentryczność i półoś wielką orbity hiperbolicznej za pomocą wskazanych już wcześniej równań:

$$e = \sqrt{\left(\frac{rv^2}{GM} - 1\right)^2 \cos^2 \phi + \sin^2 \phi} \quad (2.34)$$

oraz

$$v = \arccos\left(\frac{a(1 - e^2) - r}{e \cdot r}\right) \quad (2.35)$$

Jako że anomalia prawdziwa może przyjmować wartość między 0 a 2π , podczas gdy arccos generuje wartości między 0 a π , wykorzystuje się kąt toru nachylenia lotu ϕ , aby określić kwadrant. Jeśli ϕ jest wartością dodatnią, to v też jest dodatnie i odwrotnie. Jeżeli pomiędzy statkiem kosmicznym a ciałem centralnym nie ma odchylenia grawitacyjnego, to wprowadza się nowy parametr zwany parametrem zderzenia b , który określa odległość najbliższego zbliżenia (odległość między środkami obiektów, gdy są one styczne). Wzór na b wynosi:

$$b = \frac{-a}{\tan\left(\frac{\delta}{2}\right)} \quad (2.36)$$

Jeśli natomiast występuje odchylenie grawitacyjne, to statek kosmiczny i ciało centralne oddzielone są o odległość perygeum, co wyraża równanie:

$$r_p = a(1 - e) \quad (2.37)$$

Parametr krzywej stożkowej można obliczyć wykorzystując poniższe równanie:

$$a = \frac{1}{2}(r_{min} + r_{max}) = \frac{1}{2}\left(\frac{p}{1 + e} + \frac{1}{1 - e}\right) = \frac{p}{1 - e^2} = \frac{h^2}{GM(1 - e^2)} \quad (2.38)$$

Po otrzymaniu prawdziwej anomalii wektor promienia, kąt nachylenia toru lotu i prędkość można obliczyć w sposób analogiczny jak w przypadku transferu eliptycznego. Czas lotu obliczono przy użyciu anomalii mimośrodowej:

$$T = \frac{2\pi}{n} = 2\pi\sqrt{\frac{a^3}{GM}} \quad (2.39)$$

Można zatem wprowadzić podobny parametr zwany hiperboliczną anomalią mimośrodową – F :

$$\cosh F = \frac{e + \cos v}{1 + e \cos v} \quad (2.40)$$

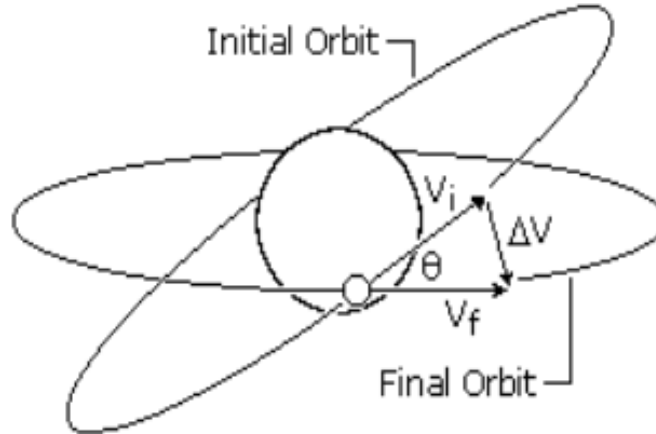
A z F można wyprowadzić czas lotu na orbicie hiperbolicznej w następujący sposób:

$$t - t_o = \sqrt{\frac{(-a)^3}{GM}} [(e \sinh F - F) - (e \sinh F_O - F_O)] \quad (2.41)$$

Elementy orbitalne orbity hiperbolicznej oblicza się w podobny sposób do orbity eliptycznej.

2.9 Zmiany nachylenia (inklinacji) płaszczyzny orbitalnej

Orbity ciał niebieskich w Układzie Słonecznym o tym samym ognisku zazwyczaj nie leżą na tej samej płaszczyźnie. Z tego powodu konieczne jest wykonywanie manewru zmiany płaszczyzny.



RYSUNEK 2.10: Zmiana płaszczyzny orbitalnej (initial orbit – orbita początkowa, final orbit – orbita końcowa) [15]

Zmiany płaszczyzny orbitalnej przeprowadza się zmieniając kierunek wektora prędkości. Kierunek prędkości ciała orbitującego jest zawsze styczny do orbity. Z tego powodu wszelkie zmiany płaszczyzny wymagają składowej ΔV prostopadłej do płaszczyzny orbity lub wektora prędkości. W sytuacji prostej zmiany płaszczyzny, w której żadne parametry orbitalne oprócz inklinacji nie ulegają zmianie oraz jeżeli długość początkowego i końcowego wektora prędkości jest równa, prawo cosinusów przyjmuje następującą postać:

$$\Delta v = 2V_i \sin\left(\frac{\theta}{2}\right) \quad (2.42)$$

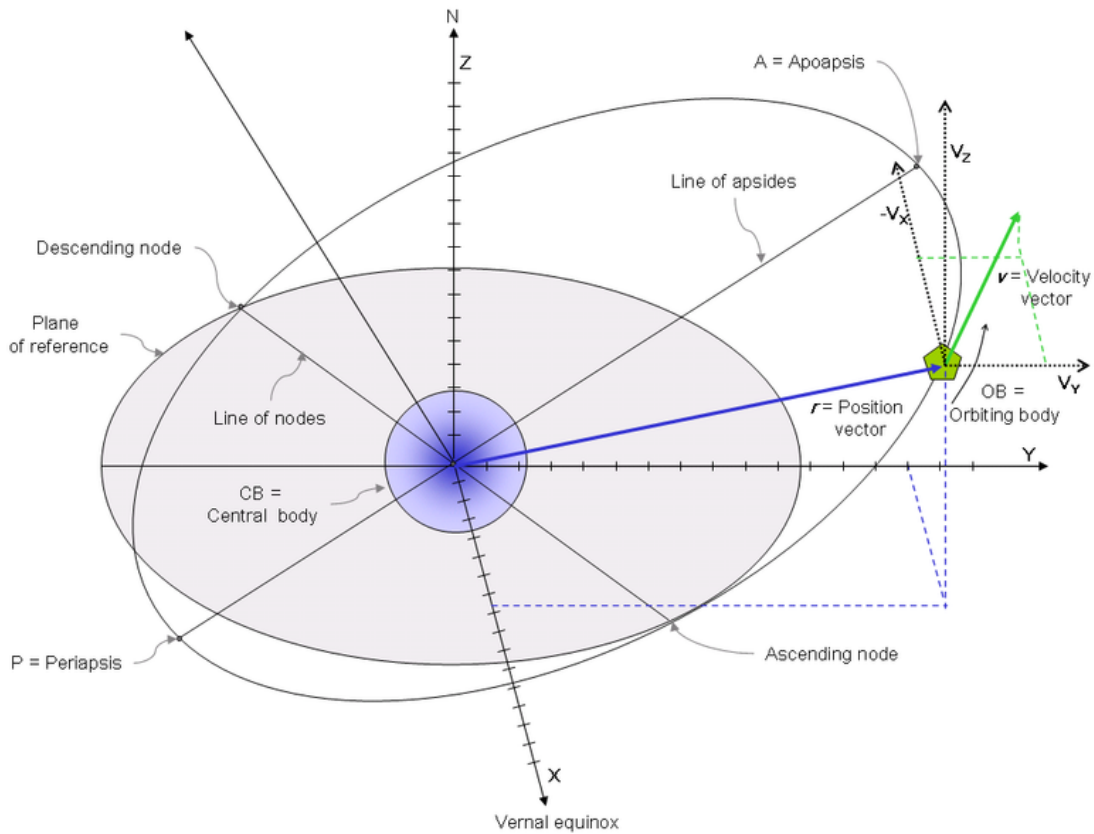
W przypadku zmian płaszczyzny, gdy wszystkie parametry orbitalne są różne, a także prędkości początkowa i końcowa nie są takie same, całkowitą wymaganą zmianę prędkości oblicza się następująco:

$$\Delta v = \sqrt{v_i^2 + v_f^2 - 2v_i v_f \cos \theta} \quad (2.43)$$

Z powyższych równań wynika, że manewry zmiany płaszczyzny są bardzo kosztowne i np. prosta zmiana płaszczyzny o 60° wymaga już delty V równej prędkości początkowej [15], dlatego manewry orbitalne powinny być wykonywane w apogeum, gdyż prędkość początkowa jest w tym punkcie minimalna.

2.10 Wektory stanu orbitalnego i właściwy moment pędu

Wektory stanu orbitalnego są kartezjańskimi wektorami położenia r i prędkości v . Wraz z czasem (epoka) t określają stan orbitującego ciała. [16] Wektory stanu definiuje się w oparciu o jakiś układ odniesienia. W tej pracy układ wyśrodkowany jest na Słońcu.



RYSUNEK 2.11: Wektory stanu orbitalnego (position vector – wektor położenia, velocity vector – wektor prędkości, plane of reference – płaszczyzna odniesienia, periapsis – perycentrum, apoapsis – apocentrum, central body – ciało centralne, orbiting body – ciało orbitujące, line of apsides – linia apsyd, descending node – węzeł zstępujący, ascending node – węzeł wstępujący, line of nodes – linia węzłów) [10]

Wektor położenia \mathbf{r} opisuje położenie ciała w wybranym układzie odniesienia, a wektor prędkości opisuje jego prędkość w tym samym układzie w tym samym czasie.

Wektorów stanu można używać do obliczenia właściwego momentu pędu \mathbf{h} (*specific angular momentum*). W przypadku dwóch ciał orbitujących jest to iloczyn wektora względnego położenia \mathbf{r} i wektora względnej prędkości \mathbf{v} podzielony przez masę ciała:

$$\mathbf{h} = \mathbf{r} \times \mathbf{v} = \frac{\mathbf{L}}{m} \quad (2.44)$$

gdzie \mathbf{L} jest wektorem momentu pędu i wynosi $\mathbf{r} \times m\mathbf{v}$. Właściwy moment pędu można wykorzystać do obliczenia długości węzła wstępującego Ω w następujący sposób:

$$n = k \times h = (-h_y, h_x, 0) \quad (2.45)$$

$$\Omega = \begin{cases} \arccos \frac{n_x}{|n|}, n_y \geq 0; \\ 2\pi - \arccos \frac{n_x}{|n|}, n_y < 0. \end{cases} \quad (2.46)$$

$n = \langle n_x, n_y, n_z \rangle$ jest tutaj wektorem skierowanym w stronę węzła wstępującego. Przyjmuje się, że płaszczyznę odniesienia jest płaszczyzna xy , a początkiem długości jest dodatnia oś x . k to wektor jednostkowy $(0,0,1)$, który stanowi wektor normalny płaszczyzny odniesienia xy . Dla orbit nienachylonych (o nachyleniu równym zero) Ω jest niezdefiniowana. Do obliczeń przyjmuje się, że jest ona równa zeru; oznacza to, że węzeł wstępujący jest umieszczony w kierunku odniesienia, co jest równoznaczne z tym, że n jest skierowany w stronę dodatniej osi x [5]

2.11 Epoka

Epoka to moment w czasie używany jako punkt odniesienia dla pewnej zmiennej w czasie wielkości astronomicznej, takiej jak współrzędne niebieskie lub elementy orbity eliptycznej ciała niebieskiego, ponieważ podlegają one perturbacjom i zmieniają się w czasie. Głównym zastosowaniem tak określonych wielkości astronomicznych jest obliczanie innych istotnych parametrów ruchu, w celu przewidywania przyszłego położenia i prędkości [12] Epokę zwykle podaje się wraz ze współrzędnymi równikowymi, ponieważ współrzędne równikowe obiektów niebieskich zmieniają się powoli wraz z upływem czasu. Obecnie najczęściej używaną epoką jest J2000.0 (rok juliański 2000.0), która (prawie dokładnie) odpowiada 1 stycznia 2000r., godz. 12:00 uniwersalnego czasu koordynowanego (UTC). W tej pracy jako punkt odniesienia przyjęto zmodyfikowaną wersję daty juliańskiej zwaną MJD (Modified Julian Date), którą otrzymano przez odjęcie 2 400 000,5 dni od daty juliańskiej.

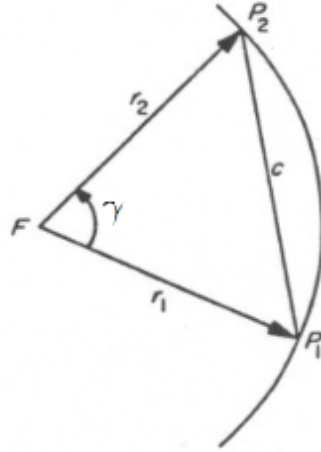
$$MJD \equiv JD - 2400000,5 \quad (2.47)$$

MJD podaje zatem liczbę dni, które upłynęły od północy 17 listopada 1858 roku. Data ta odpowiada 2400000,5 dnia po dniu 0 kalendarza juliańskiego. Należy jednak zachować ostrożność przy konwersji na inne jednostki czasu, ze względu na przesunięcie o pół dnia (w przeciwieństwie do daty juliańskiej zmodyfikowana data juliańska jest odnoszona do północy, a nie do południa) oraz z powodu wstawiania półrocznych sekund przestępnych (które są wstawiane o północy) [8]

2.12 Problem Lamberta

W założeniu, że ciało pod wpływem siły grawitacji ciała centralnego przebywa drogę z punktu P_1 na swojej eliptycznej trajektorii do punktu P_2 w czasie T , czas lotu tego ciała opisuje twierdzenie Lamberta, które mówi, że:

Czas transferu ciała, poruszającego się między dwoma punktami na trajektorii eliptycznej jest funkcją jedynie sumy odległości obu punktów od początku działania siły, odległości liniowej między punktami oraz półosi wielkiej stożka.[17]



RYSUNEK 2.12: Przedstawienie geometryczne twierdzenia Lamberta (γ - kąt przebyty w czasie T) [17]

Wyraża się ono funkcją:

$$T = T(r_1 + r_2, c, a) \quad (2.48)$$

gdzie:

a – półosć wielka

r_1 – wektor FP_1

r_2 – wektor FP_2

c – odległość między P_1 i P_2

Algorytm do rozwiązywania problemu Lamberta używany jest głównie do projektowania misji międzyplanetarnych oraz do wyznaczania (oszacowania) orbit obiektów w przestrzeni kosmicznej.

Rozdział 3

Algorytmy do wyznaczania transferów orbitalnych

3.1 Dane wejściowe

W celu zainicjowania procesu wyznaczania transferów orbitalnych należy określić następujące parametry planety startu oraz docelowej asteroidy:

- ciało centralne - ciało, wokół którego orbituje obiekt
- apocentrum - maksymalna odległość ciała na orbicie od ciała centralnego wyrażona w [km]
- perycentrum - minimalna odległość ciała na orbicie od ciała centralnego wyrażona w [km]
- ekscentryczność - określa kształt orbity [-]
- inklinacja orbity - kąt pomiędzy płaszczyzną orbitalną a płaszczyzną odniesienia wyrażony w $^{\circ}$
- argument perycentrum - kąt między płaszczyzną odniesienia a perycentrum orbity wyrażony w $^{\circ}$
- długość węzła wstępującego - kąt między kierunkiem obserwacji a węzłem wstępującym wyrażony w $^{\circ}$
- epoka definiująca anomalię średnią - czas, w którym zmierzono anomalię średnią wyrażony w [MJD]
- anomalia średnia - kąt określający położenie asteroidy wyrażony w $^{\circ}$
- masa planety startu - wyrażona w [kg], stała ta dla Ziemi zawarta jest w bibliotece astropy[3].

Parametry te pozwalają określić położenie obiektu w przestrzeni w danym momencie w czasie.

Masę asteroidy docelowej można pominąć. W porównaniu z masą ciała centralnego jest ona nieistotna - jej strefa wpływów jest zbyt mała, by statek kosmiczny został przez nią przejęty.

Do analizy wymagana jest również masa ciała centralnego, stałą tą dla Słońca można znaleźć w bibliotece astropy.

Następnie trzeba zdefiniować przedział czasowy, czyli czas rozpoczęcia i zakończenia analizy podane w TimeISOT według biblioteki astropy[13], "RRRR-MM-DDTGG:MM:SS.sss" (rok, miesiąc, dzień, godzina, minuta, sekunda, ułamek sekundy).

3.2 Układ odniesienia

Jako środek układu odniesienia przyjęto ciało centralne. Kierunek obserwacji (oś x) określa perycentrum planety startu. Płaszczyznę obserwacji (płaszczyzna xy) stanowi płaszczyzna orbity planety startu. Założono, że obiekty poruszają się po orbitach w kierunku przeciwnym do ruchu wskazówek zegara.

3.3 Lokalna pozycja w czasie - anomalia prawdziwa

Znając położenie obiektu w przestrzeni w danym momencie w czasie - stan odniesienia obiektu, można wyznaczyć położenie tego obiektu w innym momencie w czasie. Korzystając z Praw Keplera, opisanych w podrozdziale 2.1, stworzono algorytm `find_true_anomaly()`, aby obliczyć anomalię prawdziwą oraz lokalny wektor położenia obiektu.

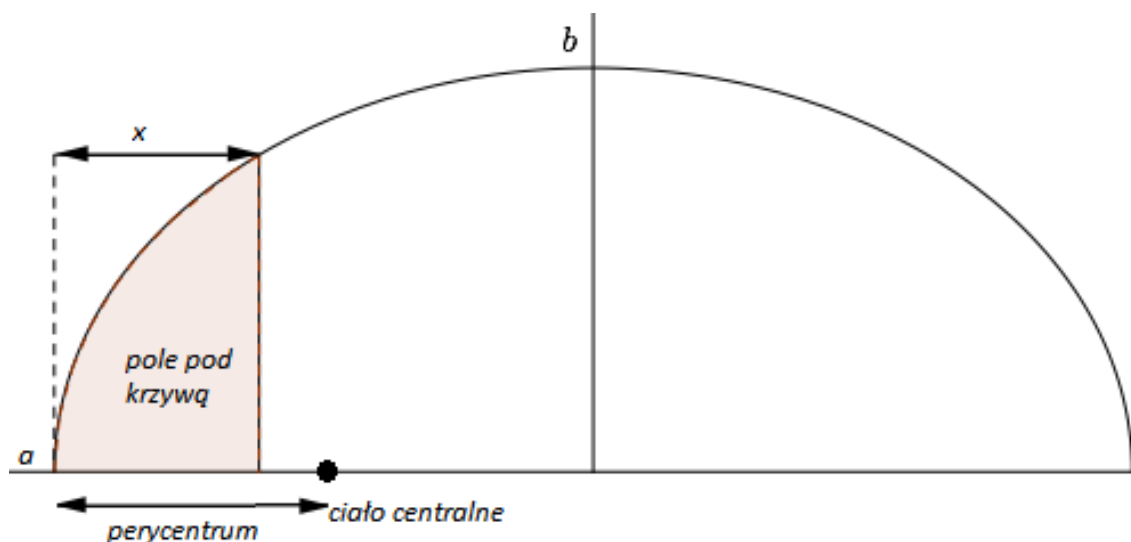
Jako środek lokalnego układu odniesienia przyjęto perycentrum. Oś x leży wzdłuż linii osi wielkiej orbity. Kierunek obrotu obiektu jest zgodny z ruchem wskazówek zegara.

W liniach kodu od 193 do 219 zdefiniowano parametry początkowe:

- `time_current` - aktualny czas
- `half_ellipse_area` - powierzchnia półelipsy
- `P` - okres orbity
- `time_at_periapsis` - czas w perycentrum
- `unit_time` - reszta z dzielenia przez okres różnicy czasu aktualnego od czasu w perycentrum
- `time0` - czas przebycia połowy orbity
- `which_half_of_orbit` - precyzuje, która połowa orbity (pierwsza połowa - od perycentrum do apocentrum, druga - od apocentrum do perycentrum)
- `swept_area` - pole zakreślone w czasie przebytym od perycentrum
- `X_max` - długość osi wielkiej - definiuje badany zakres współrzędnej x
- `rotation_point` - punkt obrotu (punkt określający położenie ciała centralnego na osi x)
- `error` - zapisuje zmienną x , jej dokładność oraz po której stronie prawdziwej wartości x znajduje się przewidziana wartość x
- `accuracy` - zadana dokładność wartości x
- `x_previous` - poprzednia wartość x

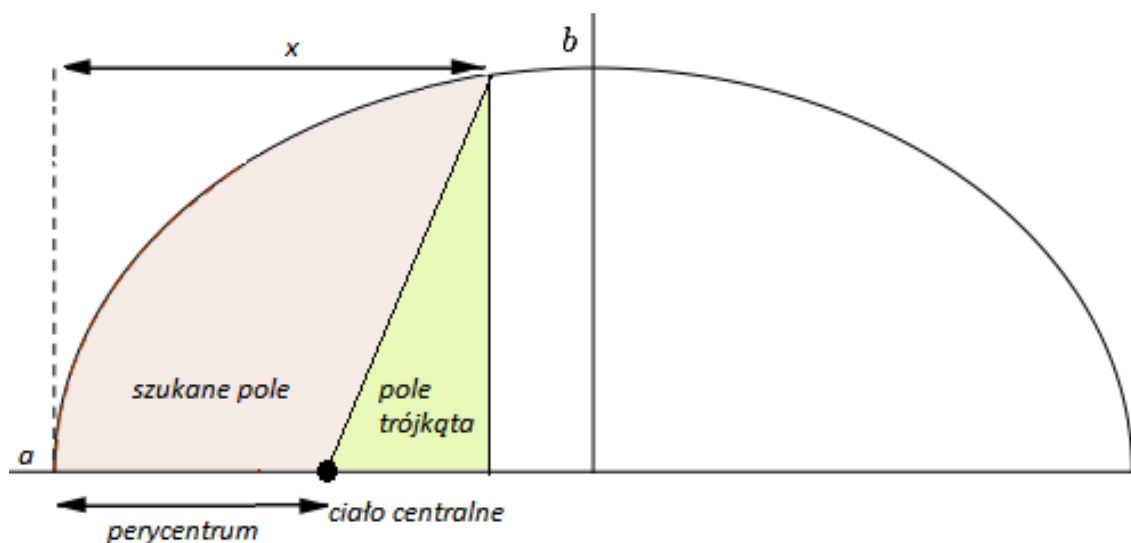
Pętla od 210 do 248 linii kodu oblicza wartość współrzędnej x w następujących krokach:

1. Wywołuje funkcję, która dla wyznaczonej wartości x oblicza pole pod krzywą, będącą częścią połowy elipsy orbity jak na rys. 3.1.

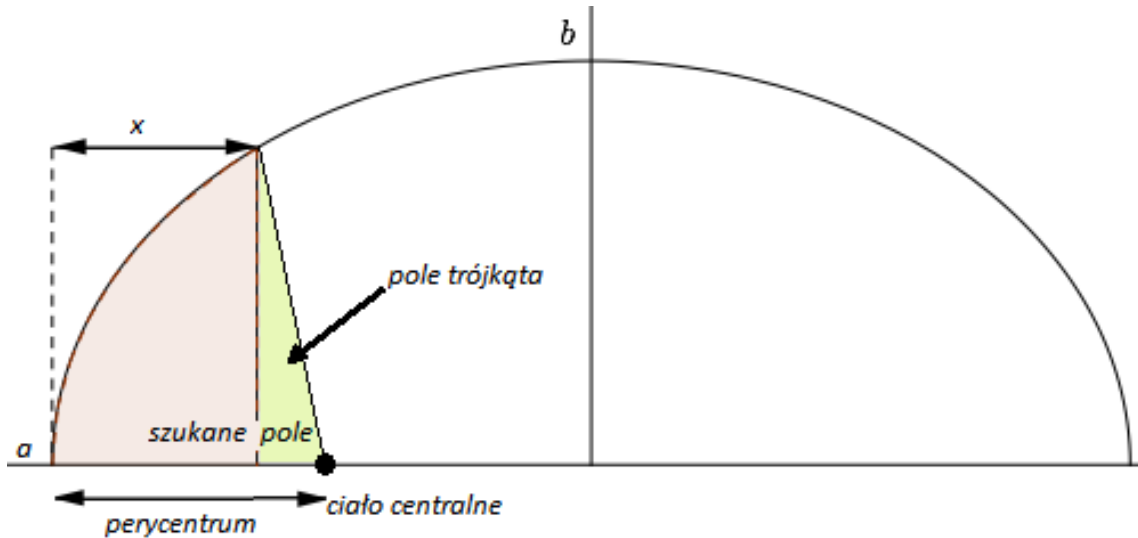


RYSUNEK 3.1: Pole pod krzywą (a - półoś wielka, b - półoś mała, x - przewidywana współrzędna) [11]

2. Jeżeli przewidywana współrzędna x leży po prawej stronie punktu obrotu (opcja 1), to obliczane jest pole trójkąta pokazanego na rys. 3.2 W przeciwnym przypadku współrzędna x leży po lewej stronie (opcja 2) więc obliczane jest pole trójkąta przedstawionego na rys. 3.3



RYSUNEK 3.2: Szukane zakreślone pole oraz pole trójkąta - $x >$ punkt obrotu (a - półoś wielka, b - półoś mała, x - przewidywana współrzędna)



RYSUNEK 3.3: Szukane zakreślone pole oraz pole trójkąta - $x <$ punkt obrotu (a - pólś wielka, b - pólś mała, x - przewidywana współrzędna)

3. W opcji 1 od wyznaczonego w kroku 1 pola pod krzywą odejmuje się pole trójkąta oznaczone na rys. 3.2 oraz pole zakreślone w czasie przebytych od perycentrum.

W opcji 2 do wyznaczonego w kroku 1 pola pod krzywą dodaje się pole trójkąta oznaczone na rys. 3.3 a następnie odejmuje się pole zakreślone w czasie przebytych od perycentrum.

Jeżeli wynik działań w obu przypadkach jest większy od 0, to zwiększana jest dokładność zmiennej x i przewidywana współrzędna przesuwana jest w lewo.

W przeciwnym wypadku, gdy wynik działań w obu przypadkach jest mniejszy od 0, to po zwiększeniu dokładności zmiennej x przesuwana jest przewidywana współrzędna w prawo.

4. Jeżeli wartość bezwzględna z różnicy poprzedniej oraz przewidywanej wartości współrzędnej x jest mniejsza od zadanej dokładności, przerywa się pętlę. W sytuacji przeciwnej powraca się do punktu 1.

W liniach kodu od 192 do 289 dokonywane są obliczenia anomalii prawdziwej, lokalnych współrzędnych x i y oraz promienia orbity.

Jeżeli wyznaczona w pętli i umiejscowiona w pierwszej połowie orbity wartość współrzędnej znajduje się po prawej stronie punktu obrotu, to:

1. Anomalia prawdziwa wyraża się wzorem:

$$\nu = \pi - \arctan\left(\frac{y}{x}\right) \quad (3.1)$$

2. Funkcja `find_true_anomaly()` zwraca wyliczone ν i r (wzór 3.5), lokalne wartości x i y oraz czas, który upłynął od przejścia przez perycentrum.

Jeżeli wyznaczona w pętli i umiejscowiona w drugiej połowie orbity wartość współrzędnej znajduje się po prawej stronie punktu obrotu, to:

1. Anomalia prawdziwa wyraża się wzorem:

$$\nu = 2\pi - \arctan\left(\frac{y}{x}\right) \quad (3.2)$$

2. Funkcja `find_true_anomaly()` zwraca wyliczone ν i r , lokalne wartości x i y , gdzie y przyjmuje wartość ujemną oraz czas, który upłynął od przejścia przez perycentrum.

Jeżeli wyznaczona w pętli i umiejscowiona w pierwszej połowie orbity wartość współrzędnej znajduje się po lewej stronie punktu obrotu, to:

1. Anomalia prawdziwa wyraża się wzorem:

$$\nu = \arctan\left(\frac{y}{x}\right) \quad (3.3)$$

2. Funkcja `find_true_anomaly()` zwraca wyliczone ν i r , lokalne wartości x i y oraz czas, który upłynął od przejścia przez perycentrum.

Jeżeli wyznaczona w pętli i umiejscowiona w drugiej połowie orbity wartość współrzędnej znajduje się po lewej stronie punktu obrotu, to:

1. Anomalia prawdziwa wyraża się wzorem:

$$\nu = \pi + \arctan\left(\frac{y}{x}\right) \quad (3.4)$$

2. Funkcja `find_true_anomaly()` zwraca wyliczone ν i r , lokalne wartości x oraz y , gdzie y przyjmuje wartość ujemną oraz czas, który upłynął od przejścia przez perycentrum.

Promień orbity opisuje równanie:

$$r = \frac{x}{\cos(\nu)} \quad (3.5)$$

3.4 Globalna pozycja w czasie

3.4.1 Wektor położenia

Funkcja `position_vector()` zwraca wektor położenia w zadanym momencie czasu.

Wykorzystując lokalne współrzędne x i y (związane z linią apsyd orbity oraz jej płaszczyzną) otrzymane z funkcji `find_true_anomaly()` z podrozdziału 3.3 dokonano ich obrotu o kolejne kąty, aby przekształcić je do globalnego układu współrzędnych opisanego w podrozdziale 3.2. Najpierw wykonano obrót o argument perycentrum wokół osi z , następnie o inklinację wokół osi, wyznaczonej przez linię węzłów.

3.4.2 Wektor prędkości

Funkcja `velocity_vector()` zwraca wektor prędkości dla danego wektora położenia.

Aby wyznaczyć wektor prędkości, wymagane są dwie pozycje obiektu: pierwsza - w zadanym momencie czasu, a druga - po niewielkim odstępie czasowym. Między tymi punktami w przestrzeni wyznaczono wektor o punkcie zaczepienia w położeniu pierwszym. Ostatecznie podzielono ten wektor przez odstęp czasowy.

3.4.3 Właściwy moment pędu i węzeł wstępujący

Funkcja `specific_angular_momentum()` zwraca właściwy moment pędu.

Jest on iloczynem wektorowym wektora położenia i wektora prędkości.

Funkcja `position_of_ascending_node()` zwraca położenie następnego węzła wstępującego.

Stanowi on iloczyn wektorowy skierowanego w górę (składowa z jest dodatnia) wektora prostopadłego powierzchni odniesienia i wektora właściwego momentu pędu.

Funkcja `angle_to_ascending_node()` zwraca kąt między aktualną pozycją a pozycją następnego węzła wstępującego [18] .

3.5 Znalezienie czasu po obrocie o zadany kąt

Funkcja `time_after_travel_by_angle()` zwraca czas (datę), w którym obiekt znajdzie się po obrocie o zadany kąt.

Aktualną anomalię prawdziwą otrzymano z funkcji `find_true_anomaly()`. Wywołano funkcję `time_after_travel_by_angle_find_angle()`, która zwraca czas, wymagany do obrotu o zadany kąt. Otrzymany czas dodaje się do czasu aktualnego, co stanowi czas po obrocie o zadany kąt.

Poniżej przedstawiono działanie funkcji `time_after_travel_by_angle_find_angle()`.

1. Jeżeli kąt jest mniejszy od 90 [°], to należy wyznaczyć szukane pole według rys. 3.3 (x otrzymano mnożąc odległość od ciała centralnego przez cosinus kąta)
2. Jeżeli kąt jest większy od 90 [°] a mniejszy od 180 [°], to należy wyznaczyć szukane pole według rys. 3.2.
3. Jeżeli kąt jest większy od 180 [°] a mniejszy od 270 [°], to należy wyznaczyć szukane pole według rys. 3.2.
4. Jeżeli kąt jest większy od 270 [°] a mniejszy od 360 [°], to należy wyznaczyć szukane pole według rys. 3.3.
5. Jeżeli kąt jest większy od 360 [°], to wymagany czas obrotu należy powiększyć o jeden okres orbitalny i wywołać na nowo funkcję z zadaniem kątem, pomniejszonym o 360 [°].
6. Funkcja zwraca czas, otrzymany z II prawa Keplera, mnożąc szukane pole przez połowę okresu i dzieląc przez połowę pola orbity.

3.6 Znalezienie dat przejścia przez węzły wstępujące

Funkcja `find_times_of_ascending_node()` zwraca daty przejścia obiektu przez węzeł wstępujący w zadanym okresie czasu, czyli okna transferowe, korzystając z funkcji `position_of_ascending_node()`, `angle_to_ascending_node()` oraz `time_after_travel_by_angle()`.

Każda kolejna data jest wyznaczana w sposób następujący:

1. Za pomocą funkcji `position_of_ascending_node()` należy obliczyć odległość następnego węzła wstępującego od ciała centralnego.
2. Używając funkcji `angle_to_ascending_node()` należy obliczyć kąt między aktualnym położeniem obiektu a położeniem następnego węzła wstępującego.
3. Podstawiając wyliczone wyżej wartości do funkcji `time_after_travel_by_angle()` otrzymano datę przejścia obiektu przez następny węzeł wstępujący.

3.7 Wyznaczenie transferu między dwoma obiektami o zadanym czasie odlotu

Funkcja `transfer()` przy użyciu funkcji `time_of_transfer()`, `planetary_departure()` i `planetary_rendezvous()` zwraca wszystkie dane transferowe:

- czas odlotu
- β odlotu [°] (2.12)
- Δv hiperboli odlotu [km/s]
- ΔV odlotu [km/s]
- czas przylotu
- β przylotu [°] (2.12)
- Δv hiperboli przylotu [km/s]
- ΔV przylotu [km/s]
- Δv transferu [km/s]
- czas transferu [dni]

Korzystając z funkcji `lambert()`, zawartej w bibliotece `poliastro` [14] funkcja `time_of_transfer()` zwraca całkowity czas transferu o wartości bliskiej najmniejszemu Δv w zadanym okresie czasu.

Wywołując wielokrotnie tą funkcję z progresywnie zmniejszającym się zadanym okresem następuje zbliżenie do całkowitego czasu transferu z minimalnym Δv .

Po podstawieniu znalezionej czasu ponownie do funkcji `lambert()` otrzymano parametry orbity transferowej.

Jeżeli obiekt startu posiada strefę wpływów, której nie można pominąć, to należy wywołać funkcję `planetary_departure()`, która zwraca Δv hiperboli odlotu oraz β odlotu. Następnie trzeba wyznaczyć Δv , wymagane do zmiany nachylenia płaszczyzny orbity.

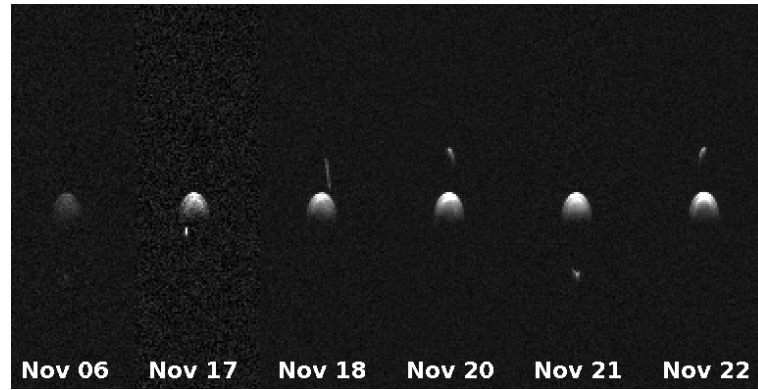
W przeciwnym wypadku, za Δv odlotu należy podstawić Δv odlotu, wyznaczoną przez funkcję `lambert()`.

Jeżeli obiekt docelowy posiada strefę wpływów, której nie można pominąć, to należy wywołać funkcję `planetary_rendezvous()`, która zwraca Δv hiperboli przylotu oraz β przylotu.

W przeciwnym wypadku, za Δv przylotu należy podstawić Δv przylotu, wyznaczoną przez funkcję `lambert()`.

3.8 Analiza misji Ziemia - asteroida 1996FG3

175706 (1996 FG3) to średniej wielkości asteroida, której orbita przecina orbitę Ziemi. Krąży wokół Słońca co 395 dni (1,08 roku), zbliżając się na odległość 0,69 AU i oddalając od Słońca na odległość 1,42 AU. 1996 FG3 ma około 1,2 kilometra średnicy, co czyni ją większą od 99% planetoid. Zaobserwowano ruch obrotowy 1996 FG3. Wykonuje ona obrót wokół własnej osi co 3,59 godziny. Z analizy spektralnej wynika, że prawdopodobnie występują tam woda, żelazo, nikiel, kobalt, azot i amoniak. NASA JPL sklasyfikowała 1996FG3 jako "Potencjalnie niebezpieczną asteroidę" powodu jej przewidywanego zbliżenia do Ziemi [1].



RYSUNEK 3.4: 1996FG3 i jej księżyc - obrazy radarowe Delay-Doppler z Obserwatorium Arecibo z 2011 r. [2]

Wartości parametrów 1996FG3 [9]:

- ciało centralne - Słońce
- apocentrum - 212728172 [km]
- perycentrum - 102474541 [km]
- ekscentryczność - 0.35 [-]
- inklinacja orbity - 2 [°]
- argument perycentrum - 24.08 [°]
- długość węzła wstępującego - 299.6764 [°]
- epoka definiująca anomalię średnią - 59600 [MJD]
- anomalia średnia - 202.32 [°]

W tabeli 3.1 przedstawiono potencjalne transfery z Ziemi do asteroidy 1996FG3 w przedziale czasowym od 2027-01-01 00:00:00 do 2033-01-01 00:00:00.

Natomiast tabela 3.2 przedstawia potencjalne transfery z asteroidy 1996FG3 do Ziemi w przedziale czasowym od 2027-10-18 00:00:00 do 2033-11-01 00:00:00.

Z przeprowadzonej analizy wynika, że misją o najmniejszym Δv jest misja o parametrach zaprezentowanych w rzędach zaznaczonych kolorem zielonym.

TABLICA 3.1: Transfer z Ziemia do 1996FG3 (wynik „None” oznacza: „nie dotyczy”)

czas odlotu	β odlotu [°] 2.12	Δv hiperboli odlotu [km/s]	ΔV odlotu [km/s]	czas przylotu	β przylotu [°] 2.12	Δv hiperboli przylotu [km/s]	ΔV przylotu [km/s]	Δv transferu [km/s]	czas transferu [dni]
2033-04-08 16:54:27.355	89.15	56.01	[-26.58, 4.51, -32.45]	2033-09-25 05:00:37.155	None	None	[28.12, 16.6, 3.54]	131.05	169.5
2032-06-30 21:38:42.773	84.96	19.46	[-0.0, 0.23, -0.38]	2033-06-23 08:14:17.801	None	None	[6.15, -0.21, -1.53]	26.23	357.44
2031-09-15 04:44:50.535	86.75	25.61	[0.06, -0.01, -0.0]	2032-05-24 10:38:59.851	None	None	[6.11, 1.95, 0.85]	32.13	252.25
2031-06-12 22:51:21.372	89.53	78.15	[-0.04, 0.13, -2.84]	2031-11-25 05:25:08.020	None	None	[0.83, -2.92, 2.08]	84.68	165.27
2031-04-09 04:38:29.915	89.12	55.02	[-28.4, 4.82, -30.61]	2031-07-28 07:03:21.199	None	None	[25.14, -0.99, 1.53]	122.25	110.1
2030-07-01 09:22:45.333	85.01	19.59	[-0.0, 0.22, -0.34]	2031-04-25 12:21:15.520	None	None	[3.11, -0.68, -1.6]	23.57	298.12
2029-09-14 16:28:53.095	86.13	22.99	[0.06, -0.01, -0.07]	2030-03-26 11:06:09.033	None	None	[1.36, -1.42, 0.68]	25.16	192.78
2029-06-12 10:35:23.933	89.51	76.03	[-0.0, 0.0, -0.11]	2029-11-13 07:30:11.481	None	None	[4.14, 1.72, 1.04]	80.74	153.87
2029-04-08 16:22:32.476	89.1	54.48	[-30.22, 5.13, -28.76]	2029-05-29 09:05:57.005	None	None	[26.92, 9.53, 0.15]	125.07	50.7
2028-06-30 21:06:47.894	90.0	69236.12	[-0.0, 0.0, -0.76]	2028-10-31 05:35:51.644	None	None	[5.52, 8.88, 1.06]	69247.39	122.35
2027-12-08 18:17:50.414	86.4	24.07	[-0.0, -0.0, 0.0]	2028-10-16 05:49:42.914	None	None	[4.62, -7.75, 1.17]	33.17	312.48
2027-05-02 22:29:58.556	89.54	78.49	[-0.0, 0.0, -0.97]	2027-10-17 18:39:51.378	None	None	[1.62, 1.89, 0.77]	82.07	167.84

TABLICA 3.2: Transfer z 1996FG3 do Ziemia (wynik „None” oznacza: „nie dotyczy”)

czas odlotu	β odlotu [°] 2.12	Δv hiperboli odlotu [km/s]	ΔV odlotu [km/s]	czas przylotu	β przylotu [°] 2.12	Δv hiperboli przylotu [km/s]	ΔV przylotu [km/s]	Δv transferu [km/s]	czas transferu [dni]
2033-07-13 15:38:37.606	None	None	[-14.74, -75.78, -2.59]	2033-11-15 19:30:58.433	85.68	21.47	None	98.71	125.16
2032-12-08 01:28:06.814	None	None	[-25.19, -4.91, -2.11]	2033-12-13 01:27:49.510	86.69	25.36	None	51.11	370.0
2032-02-28 23:43:02.422	None	None	[-4.58, -1.32, -0.01]	2032-11-04 10:35:29.126	85.77	21.75	None	26.51	249.45
2031-05-15 17:41:21.786	None	None	[-29.9, -44.0, -0.4]	2031-07-01 16:05:32.750	63.21	6.13	None	59.34	46.93
2030-10-10 03:30:50.993	None	None	[11.72, 4.43, -2.6]	2030-12-30 21:33:21.121	86.79	25.8	None	38.6	81.75
2029-12-31 01:45:46.602	None	None	[-2.52, 0.27, -0.02]	2030-10-31 14:17:35.586	86.27	23.53	None	26.07	304.52
2029-03-16 19:44:05.965	None	None	[-34.66, -38.3, -0.95]	2029-07-01 07:33:53.422	81.2	13.48	None	65.15	106.49
2028-08-11 05:33:35.172	None	None	[17505.66, 7868.59, 667.15]	2028-08-11 11:21:19.528	90.0	17269.71	None	36474.08	0.24
2027-09-12 09:14:15.688	None	None	[-2.23, 7.44, -1.05]	2028-06-30 21:16:30.820	86.66	25.2	None	33.03	292.5
2027-03-15 09:53:13.071	None	None	[-55.24, -12.15, -1.15]	2027-12-14 11:26:45.656	86.42	24.15	None	80.72	274.06

Rozdział 4

Konkluzje i rekomendacje

Głównym celem niniejszej pracy było stworzenie narzędzia do analizy trajektorii lotu misji między ciałami niebieskimi, a w szczególności do wyznaczania transferów orbitalnych statków kosmicznych od planety do asteroidy i z powrotem. Stworzony program w swoim zastosowaniu wykracza poza założone ramy. Oprócz wyznaczania transferów Ziemia - asteroida, umożliwia wyznaczanie transferów międzyplanetarnych oraz między asteroidami. Po wprowadzaniu parametrów innych układów słonecznych, pozwala również wyznaczać transfery w tych układach.

Porównanie wyników, zwróconych przez program prowadzi do praktycznych wniosków i zastosowań. Z wyszukanych wartości delta-v można wybrać najniższą, którą w konsekwencji wykorzystuje się do określenia kosztu paliwa. Możliwe jest także dobranie najkrótszego czasu transferu. Zależnie od wymagań misji można dostosować długość pobytu na docelowym ciele niebieskim w celu realizacji zamierzonych zadań.

Zaprojektowany w pracy algorytm nie ma wszystkich możliwości profesjonalnego oprogramowania, może być jednak skutecznie używany do wstępnej analizy misji.

Program generuje szerokie pole dalszego rozwoju i możliwych przyszłych zastosowań, między innymi:

- Stworzenie interfejsu graficznego w celu uproszczenia procesu wprowadzania danych i odczytu wyników.
- Graficzna reprezentacja transferu.
- Umożliwienie zapisu i wczytywania parametrów orbitalnych obiektów.
- Zaimplementowanie bardziej złożonych manewrów transferowych.
- Skrócenie czasu przetwarzania danych wyjściowych.
- Stworzenie funkcji obliczającej ilość wymaganego paliwa dla misji.
- Opcja i zautomatyzowanie procesu planowania podróży wieloetapowych.

Literatura

- [1] 175706 (1996 fg3). [on-line] <https://www.spacereference.org/asteroid/175706-1996-fg3>.
- [2] (175706) 1996 fg3. [on-line] [https://en.wikipedia.org/wiki/\(175706\)_1996_FG3](https://en.wikipedia.org/wiki/(175706)_1996_FG3).
- [3] astropy.constants. [on-line] <https://docs.astropy.org/en/stable/constants/index.html>.
- [4] Elementy orbitalne. [on-line] <https://boyce-astro.org/wp-content/uploads/BRIEF-Video-Lesson-TIME-What-is-an-Epoch.pdf>.
- [5] Longitude of the ascending node. [on-line] https://en.wikipedia.org/wiki/Longitude_of_the_ascending_node.
- [6] Mean anomaly. [on-line] https://en.wikipedia.org/wiki/Mean_anomaly.
- [7] Mean anomaly. [on-line] http://www.castor2.ca/03_Mechanics/02_Elements/06_Mean_Anom/index.html.
- [8] Modified julian date. [on-line] <https://scienceworld.wolfram.com/astronomy/ModifiedJulianDate.html>.
- [9] Near-earth objects coordination centre. [on-line] <https://neo.ssa.esa.int/search-for-asteroids>.
- [10] Orbital state vectors. [on-line] https://en.wikipedia.org/wiki/Orbital_state_vectors#/media/File:Orbital_state_vectors.png.
- [11] Pole pod krzywą. [on-line] <https://math.stackexchange.com/questions/1906439/ellipse-segment-area-of-tank>.
- [12] Time what is an epoch. [on-line] <https://boyce-astro.org/wp-content/uploads/BRIEF-Video-Lesson-TIME-What-is-an-Epoch.pdf>.
- [13] Timeisot. [on-line] <https://docs.astropy.org/en/stable/api/astropy.time.TimeISOT.html#astropy.time.TimeISOT>.
- [14] Traveling through space: solving the lambert problem. [on-line] <https://docs.poliastro.space/en/stable/quickstart.html#traveling-through-space-solving-the-lambert-problem>.
- [15] BRAEUNIG, R. A. Orbital mechanics. [on-line] <http://www.braeunig.us/space/index.htm>.
- [16] CURTIS., H. D. *Orbital Mechanics for Engineering Students*. ButterworthHeinemann, 2020.
- [17] JORDO, J. F. *The Application of Lambert's Theorem to the Solution of Interplanetary Transfer Problems*. Jet Propulsion Laboratory, 1964.
- [18] LIANG, X. Find angle between two vectors along a given direction (anti-clockwise or clockwise). [on-line] <https://adndevblog.typepad.com/manufacturing/2012/06/find-angle-between-two-vectors-along-a-given-direction-anti-clockwise-or-clockwise.html>, 2012.
- [19] SONTER, M. J. The technical and economic feasibility of mining the near-earth asteroids, master of science (hons.) thesis. [on-line] <http://ro.uow.edu.au/theses/2862>, 1996.
- [20] VALLADO, D. A. *Fundamentals of Astrodynamics and Applications*. Microcosm Press, 2013.

Dodatek A

Kod źródłowy

```
1 # -*- coding: utf-8 -*-
2 """
3 Created on Sat Nov 13 13:55:29 2021
4
5 @author: Szogunator
6 """
7
8 import numpy as np
9 import math
10 import sys
11 from scipy.integrate import quad
12 from astropy.time import Time
13 from astropy import units
14 from astropy.constants import G #Gravitational constant
15 from astropy.constants import M_earth, R_earth
16 from astropy.constants import M_sun, R_sun
17 from poliastro.twobody import Orbit
18 from poliastro.maneuver import Maneuver
19 from poliastro.bodies import Sun
20
21
22 def days_to_seconds(time):
23     return time*24*60*60
24 def seconds_to_days(time):
25     return time/60/60/24
26
27 def rotate_point(point_vector, rotation_axis_unit_vector, angle):
28     costau = np.cos(angle)
29     sintau = np.sin(angle)
30     rotation_matrix = np.array([
31         [costau+rotation_axis_unit_vector.x**2*(1-costau),
32          rotation_axis_unit_vector.x*rotation_axis_unit_vector.y*(1-costau)-
33          rotation_axis_unit_vector.z*sintau, rotation_axis_unit_vector.x*
34          rotation_axis_unit_vector.z*(1-costau)+rotation_axis_unit_vector.y*sintau],
35         [rotation_axis_unit_vector.x*rotation_axis_unit_vector.y*(1-costau)+
36          rotation_axis_unit_vector.z*sintau, costau+rotation_axis_unit_vector.y**2*(1-
37          costau), rotation_axis_unit_vector.y*rotation_axis_unit_vector.z*(1-costau)-
38          rotation_axis_unit_vector.x*sintau],
39         [rotation_axis_unit_vector.z*rotation_axis_unit_vector.x*(1-costau)-
40          rotation_axis_unit_vector.y*sintau, rotation_axis_unit_vector.z*
41          rotation_axis_unit_vector.y*(1-costau)+rotation_axis_unit_vector.x*sintau,
42          costau+rotation_axis_unit_vector.z**2*(1-costau)]
43     ])
```

```

35     point_vector = rotation_matrix @ point_vector.to_np_vector()
36     return np_vector_to_standard_vector(point_vector)
37
38 class data:
39     def __init__(self, name):
40         self.name = name
41         self.beta_arrival = None
42         self.beta_departure = None
43         self.time_of_arrival = None
44         self.time_of_departure = None
45         self.delta_v_hyperbolic_departure = None
46         self.delta_v_hyperbolic_arrival = None
47         self.dv_departure = None
48         self.dv_arrival = None
49     def travel_time(self):
50         return self.time_of_arrival - self.time_of_departure
51     def dv_total(self):
52         dv_t = 0
53         if self.delta_v_hyperbolic_departure != None:
54             dv_t = dv_t + self.delta_v_hyperbolic_departure
55         if self.delta_v_hyperbolic_arrival != None:
56             dv_t = dv_t + self.delta_v_hyperbolic_arrival
57         if self.dv_departure != None:
58             dv_t = dv_t + self.dv_departure.vector_length()
59         if self.dv_arrival != None:
60             dv_t = dv_t + self.dv_arrival.vector_length()
61         return dv_t
62
63 class vector:
64     #https://tomaszgoalan.github.io/js-python/wyklady/js-python_w10/#wektor-iloczyn-
65     #skalarny
66     def __init__(self, x=0.0, y=0.0, z=0.0):
67         self.x = x
68         self.y = y
69         self.z = z
70     def __str__(self):
71         return "[{}, {}, {}].format(self.x, self.y, self.z)
72     def __mul__(self, w): # operator mnozenia, iloczyn skalarny
73         return self.x*w.x + self.y*w.y + self.z*w.z
74     def vector_mul(self, w):#iloczyn wektorowy
75         return vector(self.y*w.z-self.z*w.y, self.z*w.x-self.x*w.z, self.x*w.y-self
76         .y*w.x)
77     def vector_add(self, w):
78         return vector(self.x+w.x, self.y+w.y, self.z+w.z)
79     def vector_subtract(self, w):
80         #print(type(w.x),type(self.x))
81         return vector(self.x-w.x, self.y-w.y, self.z-w.z)
82     def vector_mul_scalar(self, s):
83         return vector(self.x*s, self.y*s, self.z*s)
84     def vector_div_scalar(self, s):
85         return vector(self.x/s, self.y/s, self.z/s)
86     def angle_between_vectors(self, w):#https://www.omnicalculator.com/math/angle-
87     #between-two-vectors#angle-between-two-3d-vectors-example
88         return math.acos((self.x*w.x+self.y*w.y+self.z*w.z)/(math.sqrt(self.x**2+
89         self.y**2+self.z**2)*math.sqrt(w.x**2+w.y**2+w.z**2)))
90     def vector_length(self):
91         return math.sqrt(self.x**2+self.y**2+self.z**2)
92     def to_np_vector(self):
93         return np.array([[self.x, self.y, self.z]]).T

```

```

90     def to_np_1d_vector(self):
91         return np.array([self.x, self.y, self.z])
92     def vector_dot_prodcut(self, w):
93         a = self.to_np_vector()
94         a = np.transpose(a)
95         b = w.to_np_vector()
96         return np.dot(a,b)[0].item()
97     def get_unit_vector(self):
98         return self.vector_div_scalar(self.vector_length())
99     def vector_round(self, decimal_places):
100         return vector(round(self.x, decimal_places), round(self.y, decimal_places),
101                        round(self.z, decimal_places))
102
103 def np_vector_to_standard_vector(np_array):
104     return vector(np_array[0].item(), np_array[1].item(), np_array[2].item())
105
106
107 class param:
108     k = vector(0,0,1)
109     def __init__(self, name, has_mass_bool):
110         self.name = name
111         self.has_mass = has_mass_bool
112
113
114     def body(self, mass, equatorial_radius):
115         self.mass = mass #kg
116         self.equatorial_radius = equatorial_radius#km
117
118     def mu(self):
119         return self.mass*G.value/1000000000 #km^3*s^-2
120
121     def orbit(self, apoapsis, periapsis, eccentricity, inclination,
122               arg_of_periapsis, orbited_body, mean_anomaly, epoch_MJD, ascending_node):#,
123               epoch_MJD
124         self.periapsis = periapsis #km
125         self.apoapsis = apoapsis #km
126         self.eccentricity = eccentricity #[-]
127         self.inclination = math.radians(inclination)#input in degrees #math.pi/2-
128         self.orbited_body = orbited_body#class param of the body being orbited
129         self.mean_anomaly = math.radians(mean_anomaly)#input in degrees
130         self.epoch_MJD = epoch_MJD#input modified Julian Date - I don't think this
131         is needed any more
132         self.arg_of_periapsis = math.radians(arg_of_periapsis)#input in degrees
133         self.ascending_node = math.radians(ascending_node)#input in degrees
134
135     def parking_orbit(self, parking_orbit_periapse_radius):
136         self.parking_orbit_periapse_radius = parking_orbit_periapse_radius + self.
137         equatorial_radius
138
139     def semi_major_axis_length(self):#a
140         return (self.periapsis+self.apoapsis)/2
141
142     def semi_major_axis_unit_vector(self):
143         answer = vector(self.semi_major_axis_length(), 0, 0)
144         answer = rotate_point(answer, vector(0,0,1), self.arg_of_periapsis)
145         inclination_rotation_vector = rotate_point(vector(1,0,0), vector(0,0,1),
146         self.ascending_node)
147         answer = rotate_point(answer, inclination_rotation_vector, self.inclination

```

```

)
143     return answer.vector_div_scalar(self.semi_major_axis_length())
144
145     def semi_minor_axis_length(self):#b or c (elipsoid)
146         return (self.periapsis+self.apoapsis)/2*math.sqrt(1-self.eccentricity*self.
eccentricity)
147
148     def semi_minor_axis_unit_vector(self):
149         answer = vector(0, self.semi_minor_axis_length(), 0)
150         answer = rotate_point(answer, vector(0,0,1), self.arg_of_periapsis)
151         inclination_rotation_vector = rotate_point(vector(1,0,0), vector(0,0,1),
self.ascending_node)
152         answer = rotate_point(answer, inclination_rotation_vector, self.inclination
)
153         return answer.vector_div_scalar(self.semi_minor_axis_length())
154
155     #cos and sin make shure angle isn't too close to pi/2 and pi
156     def cos(self, angle_rad):
157         if abs(angle_rad) > np.pi/2-0.00000001 and abs(angle_rad) < np.pi
/2+0.00000001:
158             return 0
159         else:
160             return np.cos(angle_rad)
161
162     def sin(self, angle_rad):
163         if abs(angle_rad) > np.pi-0.00000001 and abs(angle_rad) < np.pi+0.00000001:
164             return 0
165         else:
166             return np.sin(angle_rad)
167
168     def set_time(self, isot_time):
169         self.MJD = isot_time.mjd
170
171     def change_time_MJD(self, MJD_time):
172         self.MJD = MJD_time
173
174     def period(self):
175         return 2*math.pi/math.sqrt(self.orbited_body.mu()*self.
semi_major_axis_length()**(3/2)#seconds
176
177     def orbital_plane_unit_vector(self):
178         k = self.specific_angular_momentum()
179         if k.z >= 0:
180             return k.get_unit_vector()
181         else:
182             return k.vector_mul_scalar(-1).get_unit_vector()
183
184     def ellipse_function(self,X,A,B):
185         return B*math.sqrt(1-((X-A)**2)/(A**2))
186
187     def area_under_ellipse(self,x):
188         A = self.semi_major_axis_length()
189         B = self.semi_minor_axis_length()
190         return quad(self.ellipse_function,0, x, args=(A,B))[0]
191
192     def find_true_anomaly(self):#returns angle in rad (so true anomaly)
193         time_current = days_to_seconds(self.MJD)
194         half_ellipse_area = math.pi*self.semi_major_axis_length()*self.
semi_minor_axis_length()/2

```

```

195     P = self.period()
196     time_at_periapsis = self.mean_anomaly/(2*np.pi/P)+days_to_seconds(self.
epoch_MJD)
197     unit_time = time_current - time_at_periapsis
198     time0 = P/2#time of half a orbit
199     unit_time = unit_time % P
200     if unit_time == P/2:#check extreems (apoapsis)
201         return math.pi
202     if unit_time == 0:#priapsis
203         return 0
204
205     which_half_of_orbit = 1
206     if unit_time > P/2:
207         which_half_of_orbit = -1
208         unit_time = unit_time - P/2
209
210     swept_area = half_ellipse_area*unit_time/time0
211     X_max = self.semi_major_axis_length()*2
212     rotation_point = self.semi_major_axis_length()-math.sqrt(self.
semi_major_axis_length()**2-self.semi_minor_axis_length()**2)
213
214     error = np.zeros(3)
215     error[0] = self.semi_major_axis_length()#guessed x
216     error[1] = 2#scale of guess
217     error[2] = 0 #save if right (1) or left (2) of rotation point
218     accuracy = 1 #km along x axis
219     x_previous = 0
220
221     while 1==1:
222         area = self.area_under_ellipse(error[0])
223
224         if error[1] > 1e+300:
225             break
226
227         triangle_area = np.zeros(2)
228         if error[0] > rotation_point:
229             triangle_area[0] = 0.5*(error[0]-rotation_point)*(self.
ellipse_function(error[0],self.semi_major_axis_length(),self.
semi_minor_axis_length()))
230             triangle_area[1] = -1
231             error[2] = 1
232         else:
233             triangle_area[0] = 0.5*(rotation_point-error[0])*(self.
ellipse_function(error[0],self.semi_major_axis_length(),self.
semi_minor_axis_length()))
234             triangle_area[1] = 1
235             error[2] = 2
236
237         if (area+(triangle_area[0]*triangle_area[1]))-swept_area >= 0:
238             error[1] = error[1]*2
239             error[0] = error[0] - X_max/error[1]
240         elif (area+(triangle_area[0]*triangle_area[1]))-swept_area < 0:
241             error[1] = error[1]*2
242             error[0] = error[0] + X_max/error[1]
243         else:
244             sys.exit("find_true_anomaly loop failed to meet continue or exit
criteria")
245
246         if abs(x_previous - error[0]) < accuracy:#check change of x, exit if

```

```

change less than accuracy
247         break
248         x_previous = error[0]
249
250         #0 - true_anomaly [rad], 1 - radius [km], 2 - x [km], 3 - y [km]
251         #print(seconds_to_days(unit_time))
252         angle = np.zeros(5)
253
254         if error[2] == 1:
255             if which_half_of_orbit == 1:#right of rotation_point, first half
256                 angle[0] = np.pi-np.arctan(self.ellipse_function(error[0],self.
semi_major_axis_length(),self.semi_minor_axis_length()/(error[0]-
rotation_point))
257                 angle[1] = abs((error[0]-rotation_point)/np.cos(angle[0]))
258                 angle[2] = error[0]-rotation_point
259                 angle[3] = self.ellipse_function(error[0],self.
semi_major_axis_length(),self.semi_minor_axis_length()
260                 angle[4] = unit_time
261                 return angle
262             elif which_half_of_orbit == -1:#right of rotation_point, second half
263                 angle[0] = 2*np.pi-np.arctan(self.ellipse_function(error[0],self.
semi_major_axis_length(),self.semi_minor_axis_length()/(error[0]-
rotation_point))
264                 angle[1] = abs((error[0]-rotation_point)/np.cos(angle[0]))
265                 angle[2] = error[0]-rotation_point
266                 angle[3] = -self.ellipse_function(error[0],self.
semi_major_axis_length(),self.semi_minor_axis_length()
267                 angle[4] = unit_time
268                 return angle
269             else:
270                 sys.exit("find_true_anomaly failed to determin whether angle is +
ro - on the y axis")
271         elif error[2] == 2:
272             if which_half_of_orbit == 1:#left of rotation_point, first half of
orbit
273                 angle[0] = np.arctan(self.ellipse_function(error[0],self.
semi_major_axis_length(),self.semi_minor_axis_length()/(rotation_point-error
[0]))
274                 angle[1] = abs((rotation_point-error[0])/np.cos(angle[0]))
275                 angle[2] = error[0]-rotation_point
276                 angle[3] = self.ellipse_function(error[0],self.
semi_major_axis_length(),self.semi_minor_axis_length()
277                 angle[4] = unit_time
278                 return angle
279             elif which_half_of_orbit == -1:#left of rotation_point, second half of
orbit
280                 angle[0] = np.pi+np.arctan(self.ellipse_function(error[0],self.
semi_major_axis_length(),self.semi_minor_axis_length()/(rotation_point-error
[0]))
281                 angle[1] = abs((rotation_point-error[0])/np.cos(angle[0]))
282                 angle[2] = error[0]-rotation_point
283                 angle[3] = -self.ellipse_function(error[0],self.
semi_major_axis_length(),self.semi_minor_axis_length()
284                 angle[4] = unit_time
285                 return angle
286             else:
287                 sys.exit("find_true_anomaly failed to determine whether angle is +
or - on the y axis")
288         else:

```



```

289         sys.exit("find_true_anomaly failed to determine whether angle is left
or right of rotation_point")
290
291
292     def frame_of_reference_correction(self):#move x axis from center of ellipse to
foci
293         return math.sqrt(self.semi_major_axis_length()*self.semi_major_axis_length
()-self.semi_minor_axis_length()*self.semi_minor_axis_length())
294
295     def position_vector(self):
296         position_data = self.find_true_anomaly()
297         position = vector(position_data[2], position_data[3], 0)
298         position = rotate_point(position, vector(0,0,1), self.arg_of_periapsis)
299         inclination_rotation_vector = rotate_point(vector(1,0,0), vector(0,0,1),
self.ascending_node)
300         position = rotate_point(position, inclination_rotation_vector, self.
inclination)
301         return position
302
303     def distance_from_orbited_body(self):
304         r = self.position_vector()
305         return math.sqrt(r*r)
306
307     def speed(self):
308         return math.sqrt(self.orbited_body.mu()*(2/self.distance_from_orbited_body
()-1/self.semi_major_axis_length()))
309
310     def velocity_vector(self):
311         p1 = self.position_vector()
312         time = self.MJD
313         self.change_time_MJD(self.MJD+0.1)
314         p2 = self.position_vector()
315         self.change_time_MJD(time)
316         return p2.vector_subtract(p1).vector_div_scalar(days_to_seconds(0.1))
317
318     def specific_angular_momentum(self):
319         return self.position_vector().vector_mul(self.velocity_vector())
320
321     def position_of_ascending_node(self, reference_plane_unit_vector):
322         return reference_plane_unit_vector.vector_mul(self.
specific_angular_momentum())
323
324     def angle_to_ascending_node(self, reference_plane_unit_vector):
325         #https://adndevblog.typepad.com/manufacturing/2012/06/find-angle-between-
two-vectors-along-a-given-direction-anti-clockwise-or-clockwise.html
326         n = self.position_of_ascending_node(reference_plane_unit_vector)
327         p = self.position_vector()
328         v = self.velocity_vector()
329         n2 = n.get_unit_vector().vector_mul_scalar(-1)
330         if p.vector_mul(n).get_unit_vector().vector_add(p.vector_mul(v).
get_unit_vector()).vector_length() == 0:
331             return p.angle_between_vectors(n)
332         else:
333             return p.angle_between_vectors(n2)
334
335     def time_after_travel_by_angle(self, angle, radius_of_target_point):
336         P = self.period()/2#seconds!
337         true_anomaly = self.find_true_anomaly()
338         current_angle = true_anomaly[0]

```

```

339     new_angle = current_angle+angle
340     rotation_point = self.semi_major_axis_length()-math.sqrt(self.
semi_major_axis_length()**2-self.semi_minor_axis_length()**2)
341     half_orbit_area = np.pi*self.semi_major_axis_length()*self.
semi_minor_axis_length()/2
342     time_at_current = true_anmoaly[4]
343
344     time_at_target_point = 0
345     time_at_target_point = self.time_after_travel_by_angle_find_angle(
rotation_point, radius_of_target_point, new_angle, P, half_orbit_area,
time_at_target_point)
346
347     return self.MJD+seconds_to_days(time_at_target_point-time_at_current)
348
349 def time_after_travel_by_angle_find_angle(self, rotation_point,
radius_of_target_point, new_angle, P, half_orbit_area, time_at_target_point):
350     time = 0
351     if new_angle <= np.pi/2:
352         x = rotation_point - radius_of_target_point*np.cos(new_angle)
353         area = self.area_under_ellipse(x)+1/2*self.ellipse_function(x,self.
semi_major_axis_length(),self.semi_minor_axis_length()*(rotation_point-x)
354         time = area*P/half_orbit_area#time to travel from periapsis to point,
seconds!
355     elif new_angle > np.pi/2 and new_angle <= np.pi:
356         x = rotation_point + radius_of_target_point*np.cos(np.pi-new_angle)
357         area = self.area_under_ellipse(x)-1/2*self.ellipse_function(x,self.
semi_major_axis_length(),self.semi_minor_axis_length()*(x-rotation_point)
358         time = area*P/half_orbit_area
359     elif new_angle > np.pi and new_angle <= np.pi + np.pi/2:
360         x = rotation_point + radius_of_target_point*np.cos(np.pi-(2*np.pi-
new_angle))
361         area = self.area_under_ellipse(x)+half_orbit_area-1/2*self.
ellipse_function(x,self.semi_major_axis_length(),self.semi_minor_axis_length()
*(x-rotation_point)
362         time = area*P/half_orbit_area
363     elif new_angle > np.pi + np.pi/2 and new_angle <= 2*np.pi :
364         x = rotation_point - radius_of_target_point*np.cos(2*np.pi-new_angle)
365         area = self.area_under_ellipse(x)+half_orbit_area+1/2*self.
ellipse_function(x,self.semi_major_axis_length(),self.semi_minor_axis_length()
*(rotation_point-x)
366         time = area*P/half_orbit_area
367     elif new_angle > 2*np.pi:
368         time_at_target_point = time_at_target_point+P*2
369         self.time_after_travel_by_angle_find_angle(rotation_point,
radius_of_target_point, new_angle-2*np.pi, P, half_orbit_area,
time_at_target_point)
370     else:
371         sys.exit("time_after_travel_by_angle angle out of bounds")
372     return time+time_at_target_point
373
374
375
376 def find_times_of_ascending_node(start_of_search_time, end_of_search_time, origin,
destination):#future launch windows \\ (MJD, MJD, param, param)
377     origin.change_time_MJD(start_of_search_time)
378     destination.change_time_MJD(start_of_search_time)
379     destination_plane_unit_vector = destination.orbital_plane_unit_vector()
380     time_current = start_of_search_time
381     transfer_times = np.array([])

```

```

382     while time_current < end_of_search_time:
383         position_of_next_ascending_node = origin.position_of_ascending_node(
destination_plane_unit_vector)
384         answer = origin.time_after_travel_by_angle(origin.angle_to_ascending_node(
destination_plane_unit_vector), position_of_next_ascending_node.vector_length()
)
385         transfer_times = np.append(transfer_times, answer)
386         time_current = answer+10
387         origin.change_time_MJD(time_current)
388
389     return transfer_times
390
391
392 def time_of_transfer(origin, destination, max_time, min_time, time0, time_step,
central_body):
393     dv = np.array([])
394     time_at_dv = np.array([])
395     t = min_time
396     while t < max_time:
397         destination.change_time_MJD(time0+t)
398         orb1 = Orbit.from_vectors(central_body, origin.position_vector().
to_np_1d_vector()*units.km, origin.velocity_vector().to_np_1d_vector()*units.km
/units.s, epoch=Time(origin.MJD, format = 'mjd'))
399         orb2 = Orbit.from_vectors(central_body, destination.position_vector().
to_np_1d_vector()*units.km, destination.velocity_vector().to_np_1d_vector()*
units.km/units.s, epoch=Time(destination.MJD, format = 'mjd'))
400         m_lambert = Maneuver.lambert(orb1,orb2)
401         dva = vector(m_lambert[0][1][0].value, m_lambert[0][1][1].value, m_lambert
[0][1][2].value).vector_length()*1e-3
402         dvb = vector(m_lambert[1][1][0].value, m_lambert[1][1][1].value, m_lambert
[1][1][2].value).vector_length()*1e-3
403         dv = np.append(dv, dva+dvb)
404         time_at_dv = np.append(time_at_dv, t+time0)
405         t = t + time_step
406     mini = np.argmin(dv)
407     mini_time = time_at_dv[mini]
408     return mini_time
409
410 def transfer(origin, destination, time0, central_body):
411     origin.change_time_MJD(time0)
412     max_time = seconds_to_days(destination.period())
413
414     time_step = 10
415     time = time_of_transfer(origin, destination, max_time, 10, time0, time_step,
central_body)
416
417
418
419     while time_step > 1e-5:
420         min_time = time-time0-time_step
421         if min_time <= 0:
422             min_time = 1
423         max_time = time-time0+time_step
424         if max_time <= min_time:
425             max_time = min_time + 1
426         time = time_of_transfer(origin, destination, max_time, min_time, time0,
time_step/2, central_body)
427         time_step = time_step*0.5
428

```

```

429     destination.change_time_MJD(time)
430     orb1 = Orbit.from_vectors(central_body, origin.position_vector().
to_np_1d_vector()*units.km, origin.velocity_vector().to_np_1d_vector()*units.km
/units.s, epoch=Time(origin.MJD, format = 'mjd'))
431     orb2 = Orbit.from_vectors(central_body, destination.position_vector().
to_np_1d_vector()*units.km, destination.velocity_vector().to_np_1d_vector()*
units.km/units.s, epoch=Time(destination.MJD, format = 'mjd'))
432
433     m_lambert = Maneuver.lambert(orb1,orb2)
434
435     dv1 = vector(m_lambert[0][1][0].value/1000, m_lambert[0][1][1].value/1000,
m_lambert[0][1][2].value/1000)#departure velocity vector
436     dv2 = vector(m_lambert[1][1][0].value/1000, m_lambert[1][1][1].value/1000,
m_lambert[1][1][2].value/1000)#arrival velocity vecroe
437
438
439     orb1, _ = orb1.apply_maneuver(m_lambert, intermediate=True)#get transfer orbit
440
441     transfer_data = data(' '.join(["transfer z ",origin.name, " do " , destination.
name]))
442
443     transfer_data.time_of_departure = time0
444     transfer_data.time_of_arrival = time
445
446     if origin.has_mass == True:
447         dv = planetary_departure(origin, dv1)
448         transfer_data.delta_v_hyperbolic_departure = dv[0]
449         transfer_data.beta_departure = dv[1]
450         transfer_data.dv_departure = change_plane(rotate_point(dv1, origin.
position_vector().get_unit_vector(), orb1.inc.value), dv1)#dv_rot =
451     else:
452         transfer_data.dv_departure = dv1
453     if destination.has_mass == True:
454         dv = planetary_rendezvous(destination, dv2)
455         transfer_data.delta_v_hyperbolic_arrival = dv[0]
456         transfer_data.beta_arrival = dv[1]
457     else:
458         transfer_data.dv_arrival = dv2
459
460     return transfer_data
461
462 def change_plane(velocity_vector_initial, velocity_vector_final):
463     return velocity_vector_final.vector_subtract(velocity_vector_initial)
464
465 def planetary_departure(origin, departure_velocity_vector):
466     V_1 = origin.velocity_vector()
467     excess_velocity = departure_velocity_vector.vector_subtract(V_1)
468     excess_speed = excess_velocity.vector_length()
469     speed_parking = np.sqrt(origin.mu()/origin.parking_orbit_periapse_radius)
470     delta_v_hyperbolic_departure = np.sqrt(excess_speed**2+2*origin.mu()/origin.
parking_orbit_periapse_radius) - speed_parking
471     orientation_apse_line = np.arccos(1/(1+(origin.parking_orbit_periapse_radius*
excess_speed**2/origin.mu())))) #beta [rad]
472
473     answer = np.zeros(3)
474     answer[0] = delta_v_hyperbolic_departure
475     answer[1] = orientation_apse_line
476     answer[2] = excess_speed
477     return answer

```

```

478
479 def planetary_rendezvous(destination, arrival_velocity_vector):
480     V_2 = destination.velocity_vector()
481     excess_velocity = arrival_velocity_vector.vector_subtract(V_2)
482     excess_speed = excess_velocity.vector_length()
483     speed_parking = np.sqrt(destination.mu()/destination.
parking_orbit_periapse_radius)
484     delta_v_hyperbolic_arrival = np.sqrt(excess_speed**2+2*destination.mu()/
destination.parking_orbit_periapse_radius) - speed_parking
485     orientation_apse_line = np.arccos(1/(1+(destination.
parking_orbit_periapse_radius*excess_speed**2/destination.mu()))))
486
487     answer = np.zeros(3)
488     answer[0] = delta_v_hyperbolic_arrival
489     answer[1] = orientation_apse_line
490     answer[2] = excess_speed
491     return answer
492
493 #####
494 #
495 # change values beneath to set transfer parameters #
496 #
497 #####
498 #second, minute, hour, day, month, year
499 start_of_analysis = Time('2027-01-01T00:00:00', format = 'isot')
500 end_of_analysis = Time('2033-01-01T00:00:00', format = 'isot')
501
502 Central_body = param("Sun", True)
503 Central_body.body(M_sun.value, R_sun.value/1000)
504
505 Origin = param("Ziemia", True)
506 Origin.body(M_earth.value, R_earth.value/1000)
507 epoch_earth = Time(2000.0, format = 'jyear')
508 # apoapsis[km], periapsis[km], eccentricity[-], inclination[deg], arg_of_periapsis
[deg], orbited_body, mean_anomaly[deg], epoch_MJD [MJD], ascending_node [deg]
509 Origin.orbit(152100000, 147095000, 0.0167086, 0, 0, Central_body, 358.617, Time('
J2000.0', format = 'jyear_str').mjd, 0)#365.256 #, epoch_earth.mjd
510 Origin.parking_orbit(300)
511 Origin.set_time(Time('2004-05-12T14:45:30', format = 'isot'))
512
513 Destination = param("1996FG3", False)
514 # apoapsis[km], periapsis[km], eccentricity[-], inclination[deg], arg_of_periapsis
[deg], orbited_body, mean_anomaly[deg], epoch_MJD [MJD], ascending_node [deg]
515 Destination.orbit(212728172.12260202, 102474541.42333502, 0.35, 2, 24.08,
Central_body, 202.32, 59600.0, 299.6764) #, 59600.0
516 Destination.set_time(Time('2004-10-12T14:45:30', format = 'isot'))
517
518
519
520 #####
521 #
522 #####
523
524 start_of_analysis.format = 'mjd'
525 end_of_analysis.format = 'mjd'
526
527 print(start_of_analysis.value, end_of_analysis.value)
528
529 array = find_times_of_ascending_node(start_of_analysis.value, end_of_analysis.value

```

```

, Origin, Destination)
530
531 print("found transfer times ", np.size(array))
532
533 all_transfer_data = np.array([])
534
535 i = np.size(array)-1
536 print(i)
537 while i >= 0:
538     all_transfer_data = np.append(all_transfer_data, transfer( Origin, Destination,
539         array[i], Sun))
540     print(i)
541     i = i - 1
542
543 i = 0
544 #print to latex table format
545 print(all_transfer_data[0].name)
546 #\begin{tabular}{|B|A|B|L|B|A|B|L|C|C|}
547 #\usepackage{array}
548 #\newcolumntype{L}{>{\centering\arraybackslash}m{2.9cm}}
549 #\newcolumntype{C}{>{\centering\arraybackslash}m{1.7cm}}
550 #\newcolumntype{B}{>{\centering\arraybackslash}m{2cm}}
551 #\newcolumntype{A}{>{\centering\arraybackslash}m{1.5cm}}
552 #copy next line as first line of latex table
553 # \textbf{czas odlotu} & \textbf{${\beta}$ odlotu [${}^{\circ}$] \ref{eqn:beta}} & \
554     \textbf{${\Delta}$ v$ hiperboli odlotu [km/s]} & \textbf{${\Delta}$ V$ odlotu [km/s]}
555     & \textbf{czas przylotu} & \textbf{${\beta}$ przylotu [${}^{\circ}$] \ref{eqn:beta}}
556     & \textbf{${\Delta}$ v$ hiperboli przylotu [km/s]} & \textbf{${\Delta}$ V$ przylotu
557     [km/s]} & \textbf{${\Delta}$ v$ transferu [km/s]} & \textbf{czas transferu [dni
558     ]}\ \hline
559
560 while i < np.size(all_transfer_data):
561     tdep = Time(all_transfer_data[i].time_of_departure, format = 'mjd')
562     tdep.format = 'iso'
563     beta_dep = all_transfer_data[i].beta_departure
564     if beta_dep != None:
565         beta_dep = round(np.rad2deg(beta_dep), 2)
566     dv_hip_dep = all_transfer_data[i].delta_v_hyperbolic_departure
567     if dv_hip_dep != None:
568         dv_hip_dep = round(dv_hip_dep, 2)
569     dv_dep = all_transfer_data[i].dv_departure
570     if dv_dep != None:
571         dv_dep = dv_dep.vector_round(2)
572     tarr = Time(all_transfer_data[i].time_of_arrival, format = 'mjd')
573     tarr.format = 'iso'
574     beta_arr = all_transfer_data[i].beta_arrival
575     if beta_arr != None:
576         beta_arr = round(np.rad2deg(beta_arr), 2)
577     dv_hip_arr = all_transfer_data[i].delta_v_hyperbolic_arrival
578     if dv_hip_arr != None:
579         dv_hip_arr = round(dv_hip_arr, 2)
580     dv_arr = all_transfer_data[i].dv_arrival
581     if dv_arr != None:
582         dv_arr = dv_arr.vector_round(2)
583     tavel_t = round(all_transfer_data[i].travel_time(), 2)
584     dv_tot = round(all_transfer_data[i].dv_total(), 2)
585     print(tdep.value, " & ", beta_dep, " & ", dv_hip_dep, " & ", dv_dep, " & ",
586         tarr.value, " & ", beta_arr, " & ", dv_hip_arr, " & ", dv_arr, " & ",

```

```
581     dv_tot, " & " , tavel_t, " \\ \hline")  
     i = i + 1
```

Dodatek B

Notacja

e - ekscentryczność
 l - długości odcinka między środkiem elipsy
 a - długości wielkiej półosi
 ΔA - zakreślone pole
 Δt - odstęp czasu
 T_1, T_2 - okresy obiegów planet
 a_1, a_2 - wielkie półosie planet
 v - prędkość na orbicie
 G - stała grawitacji
 r - promień orbity, odległość ciała orbitującego od centralnego
 $M(t)$ - średnia anomalia w czasie t
 M_0 - średnia anomalia w chwili $t=0$
 n - średnia ruchliwość orbity satelitarnej
 t - wybrana godzina
 t_0 - czas ostatniej znanej średniej anomalii
 m - masa mniejszego ciała orbitującego
 M - masa centralnego ciała
 V_{esc} - prędkość ucieczki
 v_∞ - nadmiarowa prędkość hiperboliczna
 r_1 - promień orbity planety odlotu
 r_2 - promień orbity planety docelowej
 μ_{sun} - parametr grawitacyjny słońca
 h - właściwy moment pędu
 μ_1 - parametr grawitacyjny planety odlotu
 r_p - promień perycentrum orbity parkującej
 v_c - prędkość statku na orbicie parkowania
 $\Delta v, \Delta V$ - delta-v
 β - orientacja linii apsyd hiperboli względem heliocentrycznego wektora prędkości planety
 \mathbf{v}_∞ - wektor hiperbolicznej prędkości
 \mathbf{V}_D - wektor prędkości statku w odniesieniu do Słońca
 \mathbf{V}_1 - wektor prędkości planety odlotu
 v_{odlotu} - prędkość statku na perycentrum hiperboli odlotu
 \mathbf{V}_2 - wektor prędkości planety przylotu
 \mathbf{V}_A - wektor prędkości statku w odniesieniu do Słońca

$v_{przylotu}$ - prędkość statku na perycentrum hiperboli przylotu
 v_{el} - prędkość statku na eliptycznej orbicie parkingowej
 Δv_A - delta-v wymagana do manewru w punkcie A
 Δv_B - delta-v wymagana do manewru w punkcie B
 Δv_{total} - całkowity zapotrzebowanie delta-v
 C - ciało centralne
 ϕ - kąt zenitalny
 δ - kąt asymptot
 b - parametr zderzenia
 r_{min} - długość perycentrum
 r_{max} - długość apocentrum
 p - parametr elipsy
 F - parametr zwany hiperboliczną anomalią mimośrodową
 F_O - parametr zwany hiperboliczną anomalią mimośrodową dla czasu odniesienia
 θ - inklinacja
 v_i - prędkość orbity początkowej
 v_f - prędkość orbity końcowej
 \mathbf{h} - wektor właściwego momentu pędu
 \mathbf{r} - wektor względnego położenia
 \mathbf{v} - wektor względnej prędkości
 \mathbf{L} - wektor momentu pędu
 Ω - długość węzła wstępującego
 \mathbf{n} - wektor skierowany w stronę węzła wstępującego
 \mathbf{k} - wektor normalny płaszczyzny odniesienia
 T - czas
 c - odległość między punktami
 ν - anomalia prawdziwa
 x - współrzędna x
 y - współrzędna y



© 2022 Alan Baker

Instytut Energetyki Ciepłej,
WYDZIAŁ INŻYNIERII LĄDOWEJ I TRANSPORTU
Politechnika Poznańska

Skład przy użyciu systemu \LaTeX na platformie Overleaf.